

YILDIZ TEKNİK ÜNİVERSİTESİ
FEN BİLİMLERİ ENSTİTÜSÜ

Etil Alkol Su Aze, Kar, Ayr. Kal., Klo, Sod,
Ase, Pot. Ase, Tuz, Etk., Arası,
ve Sist. Sıvı-Buhar Den. İnc.

YÜKSEK LİGANS TEZİ

Sevgi Saltık

1986

YILDIZ ÜNİVERSİTESİ
FEN BİLİMLERİ ENSTİTÜSÜ

ETİL ALKOL - SU AZEOTROPİK KARIŞIMININ
AYRILMASINDA KALSIYUM KLORÜR, SODYUM
ASETAT, POTASYUM ASETAT TUZLARININ
ETKİLERİİNİN ARAŞTIRILMASI VE SİSTEMİN
SIVI - BUHAR DENGESİİNİN İNCELENMESİ

YÜKEK LİSANS TEZİ
KİM. MÜH. SEVGİ SALTİK

İSTANBUL 1986

Araştırma konusu vererek çalışmayı titizlikle yönerten ve hiç bir yardımı esirgemeyen, Kimya Bölümü Öğretim Üyesi sayın hocam Y.Doç.Dr. Ulvi Avcıata'ya sonsuz teşekkürü bir borç bilirim..

Çalışma için gerekli izni veren Kimya Bölüm Başkanı sayın hocam Doç.Dr. Esin Çurgunlu'ya ve ilgi, anlayışlarından dolayı Genel ve Anorganik Kimya Anabilimdalı Başkanını sayın hocam Doç.Şirin Paksoy'a , değerli fikir ve yardımlarından dolayı Kimya Mühendisliği Bölüm Başkan yardımcısı sayın Doç.Dr. Bedri Doğan Emir'e , teşekkür ederim..

Sevgi Saltık

Ocak 1986

YILDIZ ÜNİVERSİTESİ
GENEL KİTAPLIĞI

R 361

Kot : 18
Alındığı Yer : Fen Bil. Enst.
Tarih : 7/9/1987
Fatura : -
Fiyatı : 1500 TL.
Ayniyat No : 1/6
Kayıt No : 44881
UDC : 54..... 378.242
Ek :



İÇİNDEKİLER

| DENEYSEL VERİLER VE HESAPLAMALAR | Sahife No |
|-----------------------------------------------------------------------------|---------------|
| İÇİNDEKİLER | ii 75 |
| ÖZET | İii 79 |
| SUMMARY | iiii |
| 1. GİRİŞ | 1 |
| 2. GENEL BİLGİLER VE TEORİ | 2 |
| 2.1 İdeal Çözeltiler ve Özellikleri | 2 |
| 2.2 Fugasite - Aktivite | 9 |
| 2.3 İdeal Olmayan Çözeltiler | 16 |
| 2.4 İdeallikden Pozitif Sapmalar | 20 |
| 2.5 İdeallikden Negatif Sapmalar | 21 |
| 2.6 Minimum Kaynamalı Karışımalar ve Azeotroplar | 22 |
| 2.7 Azeotropik Destilasyon | 25 |
| 2.8 Extraktif Destilasyon | 28 |
| 2.9 İndirgenmiş Basınçda Destilasyon | 31 |
| 2.10 Tuz Etkisinin Kimyası | 32 |
| 2.11 Extraktif Destilasyonda Tuz Etkisinin Tartışılması | 34 |
| 2.12 Gruplaşma Teorisi | 37 |
| 2.13 Buhar - Sıvı Dengesi üzerine Tuz Etkilerinde Bazı İstisnai Durumlar | 40 |
| 2.14 Ayırıcı ve Ayırıcı olmayan Tuz Etkileri. | 42 |
| 3. DENEL KISIM | 45 |
| 3.1 Extraktif Destilasyon Cihazı | 45 |
| 3.2 Gillespie Cihazı ve Diğer Denge Cihazları | 48 |
| 3.3 Karl-Fischer Reaktifi ile Su Tayini | 53 |
| 3.4 Deneysel Çalışma | 56 |

| | | |
|----|----------------------------------|----|
| 4. | DENEYSEL VERİLER VE HESAPLAMALAR | 57 |
| 5. | SONUÇLAR VE TARTIŞMA | 75 |
| 6. | SEMBOLLER | 79 |
| 7. | KAYNAKLAR | 83 |
| 8. | ÖZ GEÇMİŞ | 87 |

na benzeyen değiştirmiş extraktif destilasyon yöntemi ile ayrılmamasına gittiğimizde, çalışma ile farklı tuz denemeleri: CaCl_2 , CH_3COONa , CH_3COOK ,

CaCl_2 ile yapılan çalışmalar neticesinde, değişik kompozisyonlarda hazırlanan etilalkol-su karışımı ile önce Gillespie Denge Çizgisinde tuz ilavesi ile çalışılmış, tuz konsantrasyonu arttırıldığında, denge durumundaki buhar fazının alkol bakımından zenginleştiği gözlemlenmiştir. Değiştirmiş extraktif destilasyon kolonunda azeotropik kompozisyonun, tuzun farklı konsantrasyon değerlerinde, buhar fazı bileşiminin değiştiği, artan tuz konsantrasyonu ile buhar fazının eti alkolice zenginleştirdiği bulundu. Azeotropik kompozisyonun tuz ile doğrudan konsantrasyonuna ise buhar fazının eti, alkol bakımından faktirlestiği gözlemlendi. Su ve etil alkol mit olan etilalkol maddelerinin hesabı, Van Laar ve Margules denklemleri uygulandıktır, maddelerin sisteme relativ nüfusları 1'e eşdeğerdir.

Değiştirmiş extraktif destilasyon, CH_3COOK tuzları ile yapılan çalışmalarla, azeotrop ve azeotrop olmayan sistemlerin kaynama notasyonu, buhar ve tuz konsantrasyonlarının değişimi, buharın tuz konsantrasyonlarında sistemlerin kaynağı olmasına, buharın zenginlikleri, organik konsantrasyonu ve azeotropik çalışma şartlarında uygun yeni bir desenle ile azeotropik karışıkları bulmuştur. Sistemin relativ nüfusları 1'e eşdeğerdir.

Sisteme galip olan her bir tür tuz, tuz gibi parametreleri hesaplamaktır.

Azeotropik bir karışımı bileşenlerine ayırmak için başlıca üç metod mevcuttur. 1. Azeotropik Destilâsyon, 2. Extraktif Destilâsyon, 3. Vakum Destilâsyonu

Bu çalışmada, Etil alkol-Su azeotropik karışımının atmosferik basınçda, birçok bakımından extraktif destilâsyona benzeyen Değiştirilmiş Extraktif Destilâsyon yöntemi ile ayrılmasına çalışılmıştır. Çalışmada üç farklı tuz denmiştir: CaCl_2 , CH_3COONa , CH_3COOK .

CaCl_2 ile yapılan çalışmalar neticesinde, değişik kompozisyonlarda hazırlanan Etilalkol -Su karışımı ile önce Gillespie Denge Cihazında tuz ilâvesi ile çalışılmış, tuz konsantrasyonu arttırıldığında, denge durumundaki buhar fazının alkol bakımından zenginleştiği görülmüştür. Değiştirilmiş Extraktif Destilâsyon kolonunda azeotropik kompozisyonun, tuzun farklı konsantrasyon değerlerinde, buhar fazı bileşiminin değiştiği, artan tuz konsantrasyonu ile buhar fazının etil alkolce zenginleştiği bulundu. Azeotropik kompozisyonun tuz ile doygunluk konsantrasyonunda ise buhar fazının etil alkol bakımından fakirleştiği görüldü. Su ve Etil alkole ait olan aktivite katsayılarının hesabı, Van Laar ve Margules denklemleri ile yapılmıştır, budeğerlerden sistemin relatif uçuculukları tayin edilmiştir.

Değiştirilmiş Extraktif kolonda, CH_3COONa , CH_3COOK tuzları ile yapılan çalışmalarla, azeotrop ve tuz ihtiva eden sistemin kaynama noktasında buhar ve sıvı denge kompozisyonlarının değişimi incelenmiştir. Bu kısımdaki denemelerde sistemin kaynama noktasında tuzun maksimum çözündüğü doygunluk konsantrasyonu esas alınmıştır. Çalışma şartlarına uygun yeni bir denklem ile aktivite katsayıları bulunmuştur. Sistemin relatif uçuculuk değeri tuza bağlı bulundu.

Sistemde çalışılan her bir tuz için, Tuz Etki Parametreleri hesaplanmıştır.

SUMMARY

There are three methods to separate an azeotropic mixture to its components . 1) Azeotropic Distillation, 2) Extractive Distillation , 3) Vacuum Distillation.

In this project, the separation of ethyl alcohol-water azeotropic mixture is studied at atmospheric pressure by the method of modified extractive distillation which is similar to extractive distillation. In the study three different salts are used, CaCl_2 , NaCH_3COO , KCH_3COO .

In the experiments done with CaCl_2 , by using ethyl alcohol-water mixtures with different compositions. The Gillespie Equilibria set up is used. It is observed that the alcohol content at the equilibrium, increases with increasing salt concentration.

In the modified extractive distillation column, vapor phase composition of the azeotrope changes with the change in salt concentration, ethyl alcohol content increases with increasing salt concentration. On the other hand alcohol contents is low at the saturated concentration of salt. Calculation of activation coefficients of water and alcohol is done by using Van Laar and Margules equations, from these values, the relative volatilities of the system are determined.

In the studies done with CH_3COONa and CH_3COOK , in the modified extractive distillation column, the change in vapor and liquid equilibrium compositions at the boiling point of the system, is taken as the basis.

Activation coefficients are found with equation (67) using the experimental conditions. It is found that the relative volatility values of the system are dependent on salt.

The salt effect parameters are calculated for every salt, studied in the system.

1. GİRİŞ

GENEL BİLGİLER VE TEORİ

2.1 İDEAL GÖZELTİLER VE ÖZELLİKLERİ

Azeotrop, en az iki komponentli, maksimum veya minimum kaynama noktalı, sıvı bir karışımıdır.

Temperatür, kompozisyon değerlerinde ortaya çıkan maksimum veya minimum değişiklikler, sistemin Raoult Kanunundan pozitif veya negatif yönde sapmasından dolayıdır.

Bununla beraber, Raoult Kanunundan sapmalar, sıvı bir karışımın azeotrop oluşturmazı için yeterli bir sebep değildir. Sıvı karışımı oluşturan her bir saf komponentin kaynama noktasının, sistemdeki diğer komponentin kaynama noktasına, bir maksimum yada minimum kaynamalı karışım oluşturacak şekilde yakın olması gereklidir.

Yakın kaynama noktalı bileşenler, ideallikten küçük sapmalar göstererek azeotrop oluşturabilirler.

Kaynama noktaları arasındaki farkı büyük olan sıvı komponentler, ideal olmayan sıvı karışımalar oldukları halde, azeotrop meydana getirmezler.

Kaynama noktaları arasındaki farkı, 20 ile 30 °C 'dan daha büyük olduğu halde azeotrop teşkil edebilen sıvılara ender rastlanır.

Minimum kaynamalı azeotropa, " Pozitif Azeotrop" Maximum kaynamalı azeotropa, " Negatif Azeotrop " denir.

Azeotropik karışımın kaynama noktasında, sadece bir sıvı faz buhar fazı ile dengede ise böyle bir sıvı karışımı "Homo Azeotrop" , birden fazla sıvı faz , buhar fazı ile denge halinde ise "Hetero Azeotrop" denir.

Çalışılan sistemde, Etil alkol-Su azeotropu, bir homo ve pozitif azeotropdur.

2. GENEL BİLGİLER VE TEORİ

2.1 İDEAL ÇÖZELTİLER VE ÖZELLİKLERİ

Bir sıvı çözeltisindeki ideallik kavramı , bir gaz çözeltisindeki ideallikten biraz farklıdır. Çünkü gaz çözeltisinde , gaz moleküllerinin kütlesi nokta kütle olarak kabul edildiğinden, moleküller arası kohezyon kuvvetler olmadığından $(\delta E / \delta V)_T = 0$ formülü geçerlidir . (E: iç enerji V : hacim, T : mutlak sıcaklık)(1)

Sıvı çözeltisinde, sıvı molekülleri arasındaki kohezyon kuvvetlerinin varlığı her ne kadar kabul edilmişsede , ideal sıvı çözeltisinin tanımlanmasında Raoult Kanunu esas alın,-mıştır ./1/ $P_{ii} = x_{ii} P'_{ii}$ (2)

Her iki komponentide uçucu olan ikili bir sıvı çözeltide,
 P_{ii} : Buhar fazındaki (ii) komponentinin kısmi buhar basıncı
 x_{ii} : Buhar fazındaki (ii) komponentinin mol kesri
 P'_{ii} : Saf (ii) komponentinin buhar basıncı.

Saf bir çözücü içerisinde ,uçucu olmayan bir tuz bulunduğunda ,

P_{ii} : Çözeltinin buhar basıncı
 x_{ii} : Çözeltideki saf çözücünün mol kesri
 P'_{ii} : Saf çözücünün buhar basıncı

Bir sıvı karışımında,herhangibir (i) komponentinin mol kesrinin (1) değerine gitmesi halinde Raoult Kanununun doğruluğu , deney sonuçlarından görülmüştür.

Çok sayıda uçucu bileşenli ,bir ideal çözeltinin incelenmesine önce bileşenlerin kimyasal potansiyellerinden başlanacaktır .

Cözeltideki bir bileşen, ortamdaki gaz fazı ile dengeye bulunduğundan, genel denge şartına göre,

$$\mathcal{M}(\alpha, P, T) = \mathcal{M}(\beta, P, T) ; \quad \mathcal{M}(\gamma, P, T, x_i) = \mathcal{M}(g, P, T)(3)$$

α, β : sistemdeki iki farklı fazı göstermektedir.

Gibbs-Duhem Eşitliğine göre, $n_i dM_i = SdT + VdP \dots \dots (4)$
 Sıcaklık ve basıncın sabit kaldığı, yalnız bileşimin değiştiği hal için bu bağıntı $\sum n_i dM_i = 0 \dots \dots (5)$.
 Buna göre, sabit sıcaklık ve basınçda, bileşim değiştiği zaman, kimyasal potansiyel bağımsız olarak değişmemektedir.
 (n_i : mol sayısı, S :entropi, V :hacim, T :sıcaklık, P :basınç)
 İki bileşenli sistem için, $n_1 dM_1 + n_2 dM_2 = 0 \dots \dots (P, T \text{ sabit})$
 $dM_2 = - \frac{n_1}{n_2} dM_1 \dots \dots (6)$

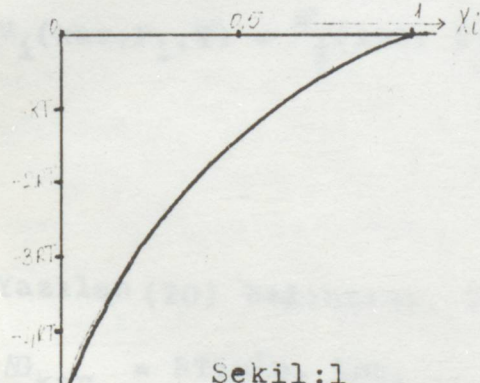
$$\frac{n_1}{n_2} = x_1 / x_2 \quad \text{olmasından, } dM_2 = -\left(\frac{x_1}{x_2}\right) dM_1 \dots \dots (7)$$

Çözücüye ait olan.

$$dM_1 = RT d\ln x_1 \dots \dots (8)$$

(i) bileşeninin çözeltideki
kimyasal potansiyeli

$$M_i = M_i^{\circ} + RT \ln x_i \dots \dots (9)$$



Şekil:1

M_i : (i) bileşeninin çözeltideki kimyasal potansiyeli

M_i° : saf (i) sıvısının standart kimyasal potansiyeli

Herhangibir (i) bileşeninin, çözeltideki kimyasal potansiyeli (M_i) ile, standart kimyasal potansiyeli arasındaki fark, (x_i) değerinin küçülmesi ile azalır. /2/

Daima $x_i < 1$ olduğundan

$$RT \ln x_i < 0 \dots \dots (10)$$

$$\Delta G_{\text{kar.}} = nRT \cdot \ln \sum x_i \ln x_i \quad (11)$$

$$\Delta S_{\text{kar.}} = -nR \sum x_i \ln x_i \dots \quad (12)$$

$$\Delta H_{\text{kar.}} = 0 \dots \quad (13)$$

$$\Delta V_{\text{kar.}} = 0 \dots \quad (14)$$

$$\Delta G_{\text{kar.}} = nRT \ln \sum x_i \ln x_i \quad \text{Bağıntısının Çıkarılması:}$$

$$G_i = n_i M_i (\text{saf}, P, T) \dots \quad (15)$$

$$G_{\text{ilk}} = G_i = n_i M_i (\text{saf}, P, T) \dots \quad (16) \quad \text{ilk haldeki sistemin serbest entalpisi}$$

$$G_{\text{son}} = n_i M_i (\text{kar.}, P_i, T) \dots \quad (17) \quad \text{... karışımın son durumdaki serbest entalpisi}$$

$$\Delta G_{\text{kar.}} = G_{\text{son}} - G_{\text{ilk}} \dots \quad (18)$$

karışımın karmaşık durumundaki serbest entalpsi.

$$\Delta G_{\text{kar.}} = \sum n_i [M_i (\text{kar}, P_i, T) - M_i (\text{saf}, P, T)] \dots \quad (19)$$

$$M_i (\text{kar}, P_i, T) = M_i^{\circ} (\text{saf}, P, T) + RT \ln x_i \dots \quad (20)$$

, kimyasal potansiyel, mol kesrinin bir fonksiyonu olarak, karışımın toplam basıncı (P) de bulunan saf maddeye göre hesaplanmaktadır.

Yazılan (20) bağıntısı, (19)uncu bağıntı ile birleştirilirse

$$\Delta G_{\text{kar.}} = RT \ln \sum n_i \ln x_i \dots \quad (21)$$

Genellikle, karışımın miktarı, toplam mol sayısı (n) ile ve bileşim de, mol kesri (x_i) ile verildiğinden, bu bağıntıda, $n_i = x_i \cdot n$ yazılmasında yarar vardır.

$$\Delta G_{\text{kar.}} = nRT \sum x_i \ln x_i \dots \quad (22)$$

Bu bağıntıda daima $\ln x_i < 0$ olacaktır.

$\Delta G_{\text{kar.}} < 0$ olur.

bir fonksiyonudur.

Sagdaki diagram da gösterilmiştir

Kısaca özetlemek gerekirse, ideal çözeltideki bileşenler için ,Raoult Kanunu bütün konsantrasyon bölgesi için geçerli olduğu gibi , karışma entalpisi ve karışmadaki hacim değişiminde sıfırdır.

Bir çözeltide, bütün bileşenler için Raoult Kanununun bütün konsantrasyon bölgesinde geçerli olması halinde , çözelti idealdir,karışma ısısı ile karışma hacmi sıfırdır.

Ancak, karışma ısısının ve karışmadaki hacim değişiminin sıfır olması, çözeltinin ideal olmasını gerektirmez.

Yukarıda ideal çözelti için sayılan özellikler gerçek çözeltilerde birer limit hal olarak görülür: Çözelti çok seyreltik olduğunda, daha fazla çözücü katılması ile olan hacim veya entalpi değişimi küçüktür ve seyrelmenin artması ile daha da küçülerek , sonsuz seyrelme ile sıfır olur. /2/

İKİLİ ÇÖZELTİDE BUHAR BASINCININ BİLEŞİMİ BAĞLILIGI

İkili bir çözelti, iki bileşen içerdigine göre mol kesirleri arasında, $x_1 + x_2 = 1$ şeklinde bir bağıntı vardır. Bileşenlerden yalnız birinin mol kesri bağımsız değişkendir. Çözelti ideal ise Raoult Kanunu geçerlidir.

Çözelti içindeki toplam basıncı, her iki bileşenin sabit sıcaklıklı kismi basınçları toplamına eşittir.

$$P = x_1 P_1 + x_2 P_2 \dots \quad (23)$$

$$P = (P_1 - P_2) \cdot x_1 + P_2 \dots \quad (24)$$

toplam basıncı, (1)numaralı bileşenin mol kesrinin bir fonksiyonu olarak verir.

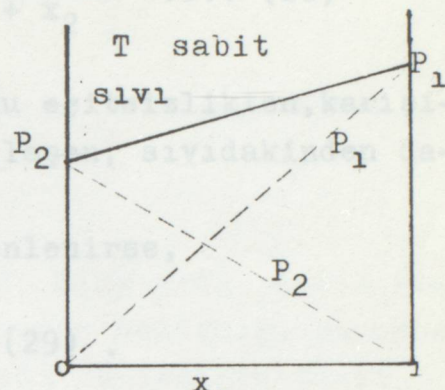
$$P = (P_2 - P_1) \cdot x_2 + P_1 \dots \quad (25)$$

toplam basıncı, (2)numaralı bileşenin mol kesrinin bir fonksiyonu olarak verir.

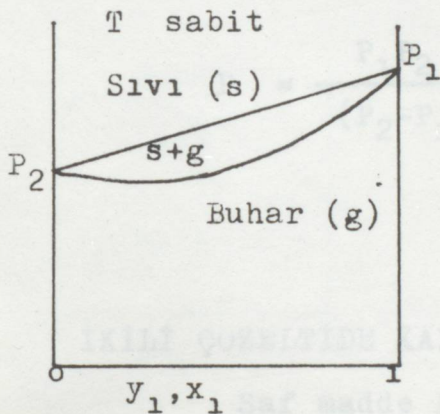
Her iki bağıntıdan da görüldüğü gibi, (P), (x)'in lineer

bir fonksiyonudur.

Sağdaki diagram, sabit sıcaklıkta buharı ile dengede bulunan ikili ideal bir sıvı karışımının bileşim-basınç diagramıdır. Basıncın, denge basıncından büyük olması halinde, sistemde yalnız sıvı vardır. Doğru üzerindeki noktalarda ise buharı ile dengede bulunan sıvı vardır.



Şekil:2



Şekil:3

Belli bir bileşimdeki karışım ile dengede bulunan, sıvının bileşimi, buharın bileşiminden farklıdır?

$$y_1 = \frac{P_1}{P} \quad \dots \dots (26) \dots \text{ (1) numaralı bileşenin}$$

$$y_1 = \frac{x_1 P_1}{(P_1 - P_2)x_1 + P_2} \quad \text{buhar fazındaki mol kesri veya bu bağıntı,}$$

$$y_1 = \frac{x_1 P_1}{x_1 P_1 + x_2 P_2} \quad \dots \dots (27) \text{ şeklinde yazılır.}$$

Buhar basıncı büyük olan bileşen (1) numaralı bileşen ise $P_1 > P_2$ olur. Yukarıdaki son eşitlikde, P_2 yerine, daha büyük olan P_1 yazılacak olursa eşitliğin sağ tarafı daha da küçülür.

Soldaki diagram, sabit sıcaklıkda, buharı ile dengede bulunan sıvının bileşim-basınç eğrisidir.

x_1 sıvı eğrisi söz konusu olduğunda, sıvı bileşimini; buhar eğrisi söz konusu olduğunda, y_1 buhar bileşimini gösterir.

$$y_1 = \frac{x_1 P_1}{x_1 P_1 + x_2 P_2} = \frac{x_1}{x_1 + x_2} \dots \quad (28)$$

$y_1 > x_1$ olur. Çıkarılan bu eşitsizlikten, karışımın üzerindeki buharla uçucu olan bileşen, sıvıdakinden daha yüksek konsantrasyonda bulunur.

Son bağıntıdan (x_1) çekilir ve düzenlenirse,

$$x_1 = \frac{y_1 P_2}{(P_2 - P_1)y_1 + P_1} \dots \quad (29)$$

$$P = (P_1 - P_2)x_1 + P_2$$

denkleminde yerine yazılır
dönüşümlenirse,

$$P = \frac{P_1 P_2}{(P_2 - P_1)y_1 + P_1} \dots \quad (30)$$

elde edilir.
Bu bağıntıya ait olan eğri
Buhar eğrisidir.

İKİLİ ÇÖZELTİDE KAYNAMA NOKTASININ BİLEŞİME BAĞLILIĞI

Saf madde buhar basınçları Clapeyron Eşitliğine
göre sıcaklığın fonksiyonudurlar.

$$\frac{dP}{dT} = \frac{\Delta \bar{S}}{\Delta V} = \frac{\Delta S}{\Delta V} \dots \quad (31)$$

$$dT_{\text{denge}} = \frac{\Delta \bar{V}}{\bar{S}} dP \dots \quad (32)$$

denge sıcaklığının basınç ile değişimi

$$dP_{\text{denge}} = \frac{\Delta \bar{S}}{\Delta \bar{V}} dT \dots \quad (33)$$

denge basıncının sıcaklık
ile değişimi

Buhar basıncları da , bileşim ve sıcaklığın fonksiyonudurlar

$$P = P(x, T)$$

$$P = P(y, T)$$

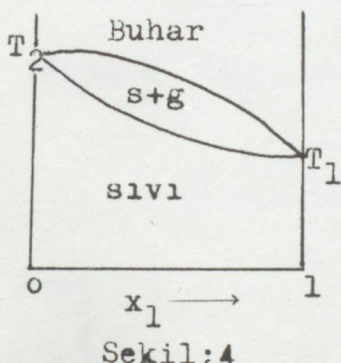
Bunun sonucu olarak kaynama sıcaklıkları da bileşimin ve basıncın fonksiyonu olurlar.

$$T = T(x, P)$$

$$T = T(y, P)$$

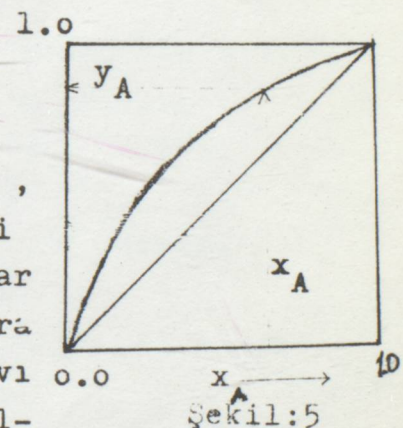
Sıcaklık ile buhar basıncı arasındaki Clapeyron eşitliğinden türetilen ilişki basit bir fonksiyon değildir. Bu sebeple sabit basınçdaki kaynama noktalarında bileşimin basit fonksiyonları olamazlar . Şekil bir doğru değildir.

Belli bir sıcaklıklarda buhar basıncı düşük olan bileşen daha yüksek sıcaklıkda kaynayacaktır.



Şekil:4

Soldaki diagram , kaynama noktası - bileşim ilişkisini göstermektedir. Ideal çözelti durumunda bile sıvı eğrisi bir doğru değildir.

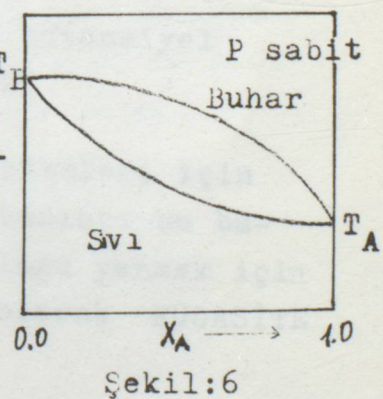


Şekil:5

Relatif Uçuculuk

Sağdaaki diagramda da görülebileceği gibi , aenge eğrisi ile köşegen çizgi arasındaki uzaklığın artması sistemeeki sıvı ile buhar kompozisyonları arasındaki farkı da arttırıcılarından destilasyon yöntemi ile bir sıvı o.o karışımındaki komponentlerin ayrimında o ölçüde mümkün olabilecektir. Burada sayısal değerler ile ifade edilen bu ayırcı faktö-T re Relatif uçuculuk denir. (α) Bu faktör, bir faz içerisindeki A ve B bileşenlerine ait konsantrasyon oranı olup

$$\alpha = \frac{y_A(1-x_A)}{x_A(1-y_A)} \quad \dots \quad (34)$$



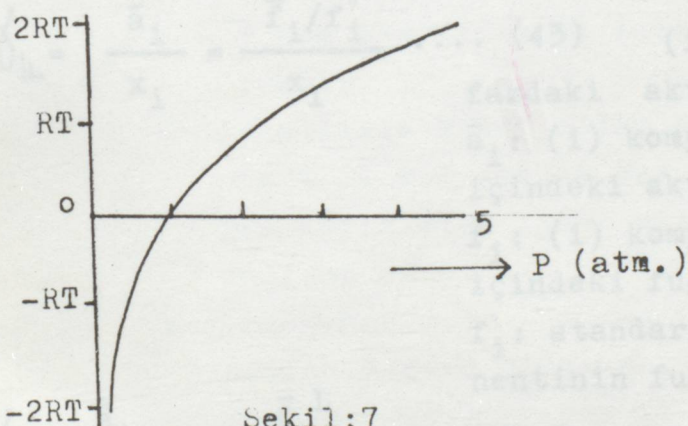
Şekil:6

2.2 FUGASİTE - AKTİVİTE

$$M = \bar{G} = G/n \dots (36) \text{ Molar serbest entalpi}$$

$G = G(T)$ (37) Standart serbest entalpi ($P = 1 \text{ atm.}$) olup, sadece sıcaklığın bir fonksiyonudur.

$(P.T) = (T) + RT \ln P$ (39) Bu denklemdeki $RT \ln P$ terimi, sıvı ile katılarda ihmali edilebilir, gazlarda edilemez.



Sekil:7

Kimyasal potansiyel ile standart kimyasal potansiyel arasındaki farkın ($M-M$) Basınç ile değişimi

$M - M_0 = RT \ln P$ (40) İdeal Gaz sistemleri için geçerlidir. Gerçek gazın basıncı bu bağıntıyı sağlamaz, bu zorluğu yemek için yeni bir hal fonksiyonu olarak FUGASİTE

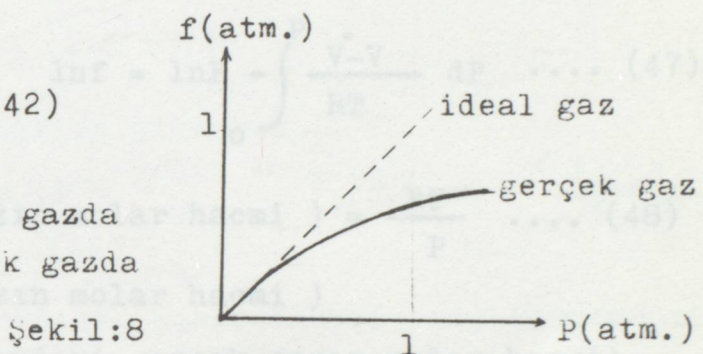
Basınç, ideal gazın serbest entalpisini ne şekilde saptı-
yor ise, fugasitede gerçek bir gazın serbest entalpisini o
şekilde saptar.

Ideal gazda basınç ile fugasite özdeşdir, gerçek gazda farklıdır. Gerçek gazda. standart hal, gazın $f=1.00$ atmosferde ideal davranışlığı hipotetik hal dir. Bu ise (a) noktasına karşı gelir. /3/ $f(\text{atm}_0)$

$$\mu = \mu_0 + RT \ln a \quad \dots \quad (42)$$

a = Pideal gazda

$a = f$ gerçek gazda



Şekil:8

Karışım içerisindeki bir komponentin aktivitesi bu komponentin mol kesri ile ilgiliidir.

$$\gamma_{IL} = \frac{\bar{a}_i}{x_i} = \frac{\bar{f}_i/f_i^o}{x_i} \quad \dots \quad (43) \quad \begin{array}{l} \text{(i) komponentinin sıvı} \\ \text{fazdaki aktivite katsayısı} \end{array}$$

$\bar{a} : (i)$ komponentinin çözeli:

içindeki aktivitesi

f_i : (i) komponentinin çözelti
içindeki fugasitesi

f_i° : standart durumdaki (i) komponentinin fugasitesi

$$\gamma_{iL} = \frac{\bar{a}_i}{x_i} = \frac{\bar{f}_i^L}{\bar{f}_{i,p}^L x_i} \quad \dots \quad (44)$$

nentinin fugasitesi
 $\bar{f}_{i,p}^L$: saf (i) sıvı kom-
penentinin, sistem basınç ve tem-
peratüründeki standart durum
fugasitesi

• (44) $f_{i,p}^L$: saf (i) sıvı komponentinin, sistem basınç ve temperaturundeki standart durum fugasitesi

$$Y_{iv} = \frac{\bar{a}_i^v}{y_i} = -\frac{\bar{f}_i^v}{\bar{f}_i^o y_i} \dots \quad (45)$$

$$\gamma_{iv} = \frac{a_i^v}{y_i} = \frac{\bar{f}_i^v}{\bar{f}_{i,p}^v y_i} = \frac{\bar{f}_i^v}{\bar{f}_{i,p}^v y_i} \dots \dots (45) \text{ Buhar fazındaki aktivite sabiti}$$

Gazların Fugasitesi

Saf Gazlarda, $RT d\ln f = VdP \dots \dots (46)$

$$\ln f = \ln P - \int_0^P \frac{V^* - V}{RT} dP \dots \dots (47)$$

$$V^* (\text{ideal gazın molar hacmi}) = \frac{RT}{P} \dots \dots (48)$$

V (gerçek gazın molar hacmi)

\bar{V} (bir karışımındaki gerçek gazın molar hacmi)

$V - \bar{V}$ (karışma sebebiyle gazların kinetik davranışlarındaki değişme)

$V = \bar{V}$ ise gaz karışımı idealdir, karışma etkisi yoktur.

\bar{V} genellikle kısmi molar hacim olarak tanımlanır, çünkü 1 mol gerçek gaz, fazla miktardaki bir gaz karışımına ilâve edildiğinde toplam hacimde değişme olur.

$V - V^*$ (son hacim)

Basınç sıfıra giderken, son hacim sıfıra gitmez deneysel veriler ile $(V - V^*)$ hesabı yapılamaz.

Fakat ikinci virial sabitlerin değerleri bilinirse, hesaplanabilir

$V - V^* = B_i$ (ikinci virial gaz sabiti)

Fugasite, gazların P-V-T davranışları ile ilgili dir. $P \cdot V = A + B_i P = RT + B_i P \dots \dots (49)$

$$V = RT/P + B_i$$

$V - V^* = B_i$ 'nin bulunduğu su.

Gaz Karışımları

Saf gaz karışımı içindeki bir gaz komponentinin fugasitesi ile basıncı arasındaki temel bağıntı şöyledir:

$$RT d\ln \bar{f}_i = \bar{V}_i dP \quad \dots \quad (50)$$

$$P_i = y_i \cdot P \quad \dots \quad (51)$$

P_i değeri sıfıra giderken,

$$f_i = P_i = y_i \cdot P \quad \bar{f}_i / P = y_i \quad \text{olacağından} \\ \dots \quad (52)$$

Bir gaz karışımı içerisindeki (i) komponentinin belirli bileşim ve sıcaklıklıdaki fugasitesi :

$$\ln \bar{f}_i = \ln y_i \cdot f_i + \int_0^P \frac{\bar{V}_i - V_i}{RT} dP \quad \dots \quad (53)$$

ile verilir. Gaz karışımı ideal kabul edildiğinde (genellikle 200 psia basınç altındaki hidrokarbonlar için iyi bir varsayımdır) yukarıdaki eşitlikde $V_i = \bar{V}_i$ olacağından, bu denklem, Lewis Randall kuralına döner:

$$\bar{f}_i = y_i \cdot f_i \quad \dots \quad (54)$$

f_i : saf (i) komponentinin fugasitesi

\bar{f}_i : çözelti içindeki (i) komponentinin fugasitesi.

V_i : saf (i) komponentinin molar hacmi

\bar{V}_i : (i) komponentinin kısmi molar hacmi

BUHAR VE SIVI KARIŞIMLARINDA DENGEL

Saf sıvılarda, sıvı ile buharının dengede bulunduğu durum için saf (i) sıvı komponentinin fugasitesi:

$$\ln f_{i,p_i}^L = \ln f_{i,p_i^*}^V = \ln P_i^* + \int_0^{P_i} \frac{V_i - V}{RT} dP \quad \dots \quad (55)$$

P_i^* : saf (i) bileşeninin
buhar basıncı

Eğer sıvinin basıncı, buharının basıncının altında bir değerde ise, sıvinin fugasite değeri üzerine basınçdan dolayı bir etki olacağinden bir düzeltme gerekebilir, fugasitenin temel tanımından,

$$\int_{P_i^*}^P d\ln f_i^L = 1/RT \int_{P_i^*}^P V_i^L dP \quad \dots \quad (56)$$

$$\ln f_{i,p}^L = \ln f_{i,p_i^*}^L + \int_{P_i^*}^P \frac{V_i^L}{RT} dP \quad \dots \quad (57)$$

$$\ln f_{i,p}^L = \ln P_i^* + \int_0^{P_i^*} \frac{V_i - V}{RT} dP + \int_{P_i^*}^P \frac{V_i^L}{RT} dP \quad \dots \quad (58)$$

Karışımlarda denge durumunda, $\bar{f}_i^V = \bar{f}_i^L \quad \dots \quad (59)$

$$T^V = T^L, \quad P_i^V = P_i^L \quad \dots \quad (60)$$

$$\bar{f}_i^L = \gamma_i x_i f_i \quad \dots \quad (61)$$

$$\ln f_i = \ln y_i f_i + \int_0^P \frac{\bar{V}_i - V_i}{RT} dP \quad \dots \quad (53) \text{ eşitliğinin}$$

den yararlanarak,

$$y_i f_{i,p} \exp. \int_0^P \frac{\bar{V}_i - V_i}{RT} dP = \gamma_i x_i f_i \quad \dots \quad (62)$$

eşitliği yazılabilir. Standart sıvı komponent olarak, karışımın basınç ve temperatüründeki saf komponent seçilmişdir. Standart durumda buhara gerek yoktur, çünkü buharın aktivitesi mevcut değildir. (62) Eşitliği tekrar düzenlenirse,

$$\ln f_{i,p}^L = \ln P_i + \int_0^{P_i} \frac{\bar{V}_i - V}{RT} dP + \int_{P_i}^P \frac{V_i^L}{RT} dP \quad \dots \quad (63)$$

(63) eşitliğinin sağ tarafına f_i° yazılırsa,

$$\ln y_i + \ln f_{i,p} + \int_0^P \frac{\bar{V}_i - V_i}{RT} dP = \dots \quad (64)$$

$$\ln \gamma_i + \ln x_i + \ln P_i + \int_0^{P_i^*} \frac{V_i^* - V^*}{RT} dP + \int_{P_i^*}^P \frac{V_i^L}{RT} dP$$

$$\ln f = \ln P - \int_0^P \frac{V^* - V}{RT} dP \quad \dots \quad (47) \text{ denkleminden}$$

yararlanarak, (64) denkleminin sağdan 3. ve 4. terimleri yerine $\left[\ln f_{i,p_i^*} \right]$ yazılırsa,

$$\ln \gamma_i = \ln \frac{y_i f_{i,p}}{x_i f_{i,p_i^*}} + \int_0^p \frac{\bar{V}_i - V_i}{RT} dp - \int_{p_i^*}^p \frac{V_i^L}{RT} dp \dots \quad (65)$$

$f_{i,p}$: saf (i) komponentinin toplam basıncındaki fugasite değeri (gaz için)

f_{i,p_i^*} : saf (i) komponentinin kısmi basıncındaki fugasite değeri (gaz için)

$$\ln \gamma_i = \ln \frac{y_i P}{x_i p_i^*} + \int_0^P \frac{V_i - V}{RT} dp + \int_0^P \frac{\bar{V}_i - V_i}{RT} dp + \int_{p_i^*}^P \frac{V_i^L}{RT} dp \dots \quad (66)$$

Yukarıdaki denklemin, sağdan, 2. ve 3. terimleri düzenlenirse ($V_i - V$) yerine ideal gaz davranışından sapmanın bir ölçüsü olarak ikinci virial sabit gelir. Neticede denklem,

$$\ln \gamma_i = \ln \frac{y_i P}{x_i p_i^*} + \frac{B_i - V_i^L}{RT} (P - P_i^*) \dots \quad (67)$$

haline döner. /4/

Ideal haneli denklemlerine bir düzeltme faktörü ilave edilerek ideal çözeltide sapmalar düzeltilebilir. Lewis ve Randall'e göre: /5/

2.3 İDEAL OL MAYAN ÇÖZELTİLER : (i) komponentinin ç-

özelti içindəki fugasitesi

İdeal davranışlardan sapma komponentlerin polarlığı , çözücü ve çözünen moleküllerinin miktarı, iç basınç taki değişiklikler, çözünenin çözücü içindeki dissosiasyonu gibi konulardan ileri gelir. /5,6/

A ve B gibi iki komponentden oluşan sistemlerde A ve B molekülleri arasındaki kuvvetler, A-A ve B-B arasındaki kuvvetlerden daha zayıf olursa , A-B karışımı A-A ve B-B ye göre daha az assosiyedir, karışımın kaynama noktası karışımı oluşturan maddelerin kaynama noktasından daha düşüktür. Böyle bir sistem idealden pozitif bir sapma gösterir. Bu durum özellikle polar özellikdeki bir komponentle polar olmayan bir komponent karıştırıldığı zaman ortaya çıkar, moleküllerin birbirlerinden uzaklaşmalarına sebep olur. Komponentlerin fugasitesi artar, aynı zamanda bir hacim artışı gözlenir, dışarıdan ısı alınır. Hidrokarbon - Alkol karışımı böyle sistemlere örnekdir.

İdeallikten sapmanın bir diğer şeklinde , A ve B gibi farklı iki komponentin molekülleri arasındaki etki A-A ve B-B molekülleri arasındaki çekim kuvvetinden daha büyündür. A ve B molekülleri arasındaki assosiasyon A-A ve B-B molekülleri arasındakinden büyündür. Genellikle bu tip karışılarda karışımın kaynama noktası karışımı oluşturan komponentlerin kaynama noktalarından daha yüksek olur. Aseton-Kloroform karışımı , Benzaldehit-Fenol karışımı böyle sistemlere örnekdir. Bu tip çözelti karışımlarının dışarıya ısı yayarak ve hacim azalması ile meydana geldikleri gözlenmiştir./7/

İdeal çözelti denklemlerine bir düzeltme faktörü ilâve edilerek ideal çözeltiden sapmalar düzeltilebilir. Lewis ve Randall'a göre: /8/

$$\bar{f}_i = x_i f_i \gamma_i \quad \dots \quad (68)$$

f_i : (i) komponentinin çözelti içindeki fugasitesi

f_i : Saf (i) komponentinin çözelti basıncı ve temperaturundeki fugasitesi

γ_i : (i) komponentinin aktivite katsayısı.

Aktivite katsayısı (γ) ideallikten sapmanın bir ölçüsüdür.

Bu denklem likid ve gaz fazları için yazılabilir.

Gaz fazındaki çözeltiler için aktivite katsayısı, yüksek olmayan basınçlarda genellikle (1) değerine çok yakındır, (1) olarak kabul edilebilir.

Bir likid faz üzerinde gaz fazı mevcut olduğu zaman ideal gaz gibi düşünülerek fugasitenin yerine basıncı yazılabılır. (52) ve (62) numaralı bağıntılardan,

$$P_i = x_i P^{\circ} \gamma_i \quad \dots \quad (69)$$

Yüksek basınçlarda buhar fazı arzu edilen ideallikde olmaz ve aktivite katsayısı (γ) da aynı değerde bulunamaz. Denklem sıvı faz ile denge halinde bulunan buhar fazı için yazılsa, buradan buhar fazındaki mol kesri bulunabilir.

$$y_i = \frac{x_i f_i^L \gamma_{iL}}{f_i^v \gamma_{iv}} \quad \dots \quad (70)$$

Denklemdeki (L) harfi sıvı fazı, (v) harfi buhar fazı ifade etmektedir. Buhar fazının ideal bir çözelti gibi kabul edileceği göz önüne alınarak $\gamma_{iv} = 1$ alınır, fugasite yeri de basıncı yazılarak ($f_i^v = P$), ($f_i^L = P_i$) denklem :

$$y_i = \frac{x_i P_i \gamma_{iL}}{P} \quad \dots \quad (71) \quad \text{şeklini alır.}$$

Aktivite katsayısı, çözeltinin bileşimiyle, basınçla ve temparatürle değişir. Bu değişkenlerle aktivite katsayısı arasındaki ilişkiyi tayin etmek için denklemlerin geliştirilmesi oldukça güç bir problemdir. Bu konuda büyük gayretler sarf edilmesine karşın çok az başarı sağlanabilmiştir. /9/

İdeal olmayan sistemlerde relatif uçuculuk aşağıdaki denklemle hesaplanabilir:

$$\alpha_{1,2} = \frac{(y_1/x_1)\gamma_1}{(y_2/x_2)\gamma_2} \dots \quad (72) \quad \text{Relatif uçuculuk } (\alpha_{1,2}), \text{ sistemin özelliğine bağlı olarak, temperatürle artar, azalır,}$$

veya değişmeden sabit kalır.

Aktivite katsayısı (γ)nın teorik olarak önceden tayin edilebilmesi için Margules, sabit temperatürde (x)'in artış serisine göre (γ)'nın değişimini aşağıdaki formüllerle ifade etmiştir:

$$\log \gamma_1 = x_2^2 \left[A_{12} + 2x_1(A_{21}-A_{12}) \right] \dots \quad (73)$$

$$\log \gamma_2 = x_1^2 \left[A_{21} + 2x_2(A_{12}-A_{21}) \right] \dots \quad (74)$$

Carlson ve Colburn tarafından Margules denklemleri yeniden düzenlenmiştir. Bu denklemler A ve B sabitlerini içe-
rir : /10/

$$\log \gamma_1 = x_2^2 (2B-A) + 2x_2^3 (A-B) \dots \quad (75)$$

$$\log \gamma_2 = x_1^2 (2A-B) + 2x_1^3 (B-A) \dots \quad (76)$$

Aktivite katsayılarının hesaplanması en çok uygulaması olan ve kullanılan denklemler Van Laar denklemleridir. /11/

Van Laar probleme yaklaşırken şu kabulleri yapmışdır:

- Karışımındaki bir komponentin aşırı kısmi entropi değişimini yoktur, ideal olarak kabul edilir.
- Karışımındaki komponentlerin kısmi molar hacimlerindeki değişim sıfırdır.

- c) Van der Walls denklemleri her iki komponente ve karışımın sıvı ve buhar fazlarına uygulanabilir.
- d) Karışımın Van der Walls sabitleri saf komponentlerin sabitlerinden hesaplanabilir.

Van Laar denklemleri aşağıdaki gibidir : /12/

$$T \ln \gamma_1 = \frac{B}{(1 + x_1/x_2 A)^2} \dots \quad (77)$$

$$T \ln \gamma_2 = \frac{AB}{(A + x_2/x_1)^2} \dots \quad (78)$$

T= temperatur
(K)

A, B=sabitler

2.4 İDEALLİKDEN POZİTİF SAPMALAR

Bir karışımın toplam basıncı ideal durum için hesaplanan, $P = P_A + P_B = P_Ax + P_B(1-x)$

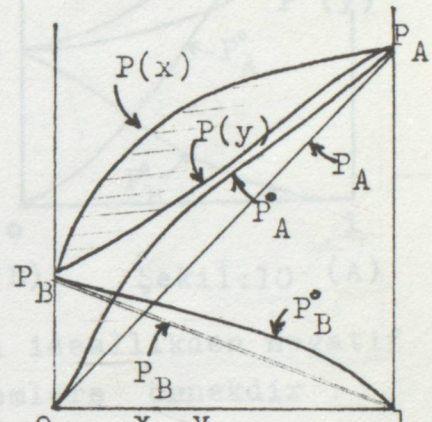
değerinden daha büyük ise, sistem Raoult Kanunundan pozitif yönde sapıyor, demektir. Çok sayıda karışım bu kategoriye girer. Her bir komponentin kısmi basıncı ideal durumdaki değerinden daha büyüktür.

Saf bir komponentin aktivite katsayısı (79) denklemi ile tanımlanır:

$$\gamma = \frac{P}{P_x} \quad \dots \dots (79)$$

P° : komponentin denge durumundaki kısmi basıncı. P_A°, P_B°

P_x : (x) komponentinin ideal durumdaki kısmi basıncı. P_A, P_B



(B)

(A)

Şekil:9

Aktivite katsayısının logaritması pozitif bir değer ise, sistem Raoult Kanunundan pozitif yönde sapıyor demektir.

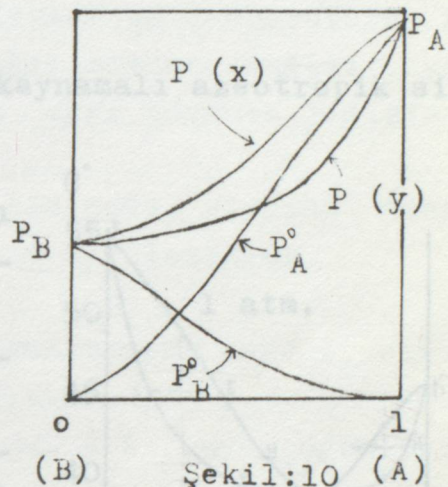
Şekil: 9 da görüldüğü gibi, her bir komponentin kısmi basıncı, komponentler yüksek konsantrasyonlarda iken ideal duruma teğet olarak yaklaşır.

2.5 İDEALLİKDEN NEGATİF SAPMALAR

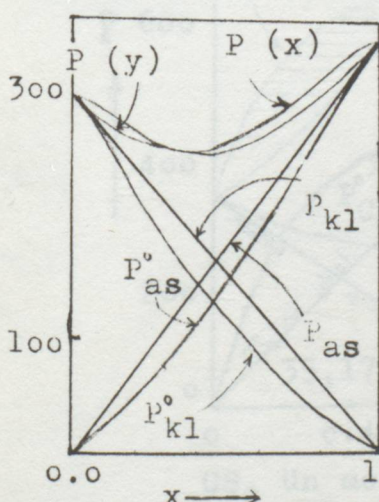
Denge durumundaki bir sistemin toplam basıncı, ideal değerinden daha küçük ise böyle bir sistem için Raoult kanunundan negatif yönde sapıyor denir.

Bu durum için, sabit temperatürdeki basınç - mol kesri diagramı aşağıda görüldüğü gibidir :

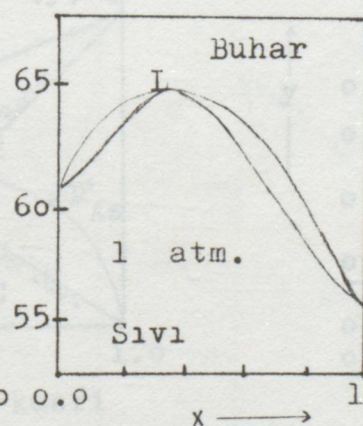
Burada dikkat edilecek bir husus, ideallikten pozitif sapma durumlarında da olduğu gibi, negatif sapma durumlarında da sisteme ne buhar assosiasyonu ne de sıvı dissosiasyonu olayı vardır, azeotropik sistemi oluşturan her bir bileşenin kompozisyonu ağırlıkça % 100 e yaklaşıkça kısmi basınç değerleride ideale yaklaşır.



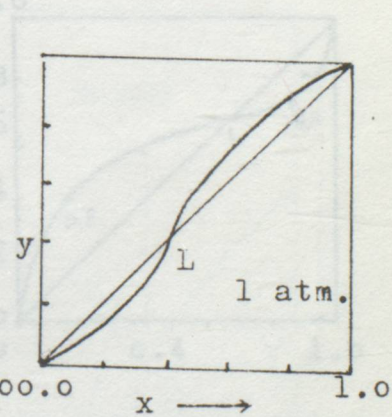
Aseton - Kloroform sistemi ideallikden negatif yönde sapan pozitif azeotropik sistemlere örneğidir :



Asetonun sıvı içindeki mol kesri



Şekil:12



Aseton'un sıvı içindeki mol kesri

Şekil:11

Şekil:13

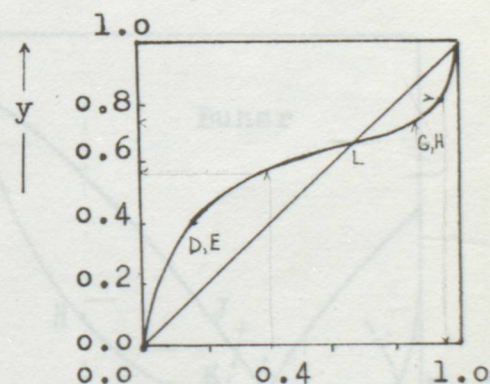
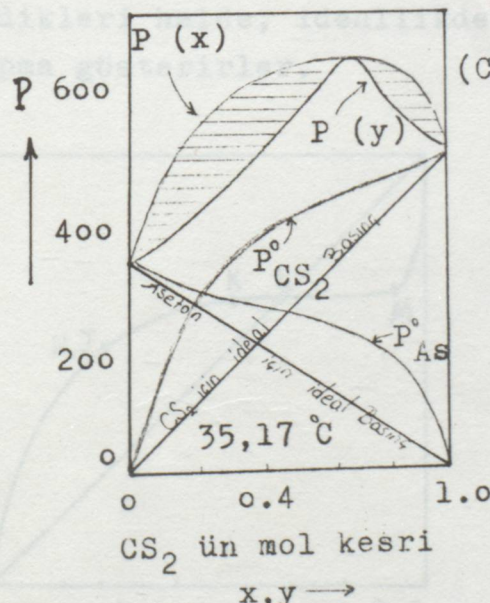
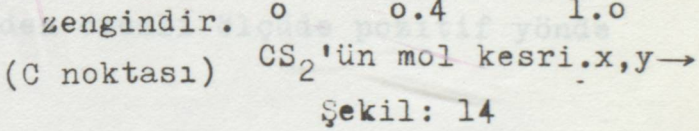
2.6 MİNİMUM KAYNAMALI KARIŞIMLAR VE AZEOTROPLAR

Ideallikden oldukça büyük pozitif sapma olduğunda ve iki komponentin buhar basınçları arasındaki fark çok fazla değilse, sabit sıcaklıkta toplam basınç eğrisi bazı konsantrasyon değerlerinde bir maksimum değerden geçebilir, böyle bir karışımı, sabit kaynamalı karışım, yada AZEOTROPIK KARIŞIM denir.

CS_2 - Aseton minimum kaynamalı azeotropik sisteme iyi bir örnekdir :

Sabit basınçda, minimum kaynamalı azeotropik noktanın, sıvı ile buhar bileşim değerlerini, denge eğrilerinin, L noktasındaki tangent değerleri tayin eder.

L değerinden daha düşük kompozisyon değerleri için denge durumundaki buhar, az uçucu komponente daha



CS_2 ün sıvı içindeki mol kesri $x, y \rightarrow$

F noktası, L noktasına göre, dengedeki buhar fazı uçucu komponent bakımından zengindir.

G noktasındaki denge buharı, uçucu komponent bakımından H noktasındaki sıvıdan daha fakirdir.

L kompozisyonundaki bir karışım, bileşimini değiştirmeksızın, sabit temperatürde kaynar.

Eğer, H veya D noktasındaki bir karışım açık bir kapda, buharları sürekli uçurulacak şekilde kaynatılırsa, kapda kalan sıvının bileşimi ve temperatürü H noktasından, K noktasına doğru eğri boyunca değişir, yada D noktasından J noktasına doğru eğri boyunca değişim gösterir.

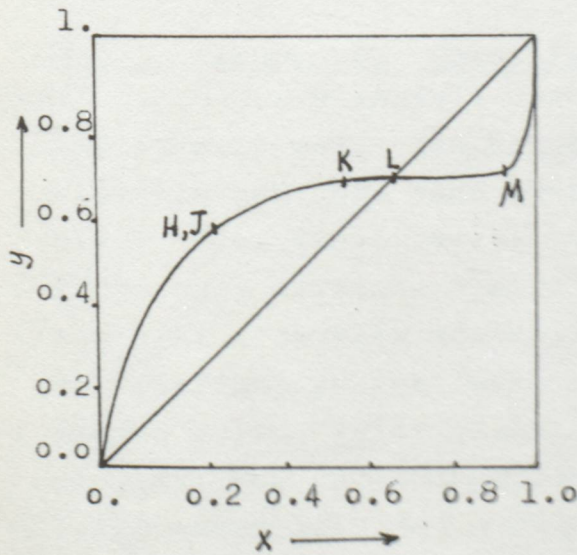
Bunun gibi gözeltiler, atmosferik basınçda sıradan destilasyon metodları ile bileşenlerine ayrılamazlar.

Azeotropik bileşimde, $x = y$ dir.

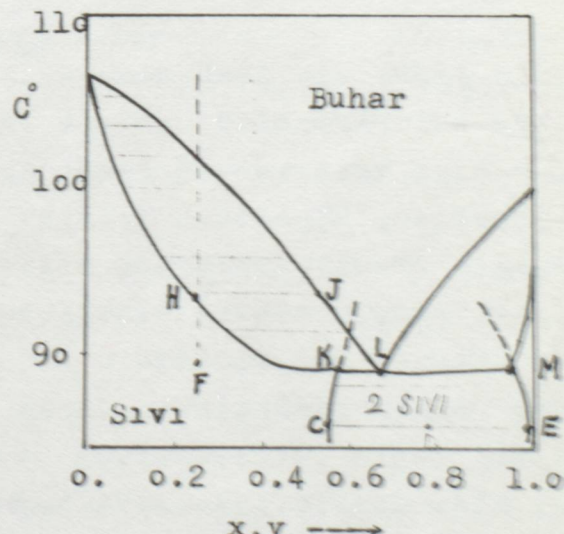
(Bir bileşenin buhar fazındaki konsantrasyon değeri, sıvı fazındaki konsantrasyon değerine eşittir.)

Sistemin relatif uçuculuk değeri (α) = 1 veya çoğunlukla bu değerin altındadır.

Bazı maddeler sıvı içerisinde tamamıyla çözünen medikleri halde, ideallikten önemli ölçüde pozitif yönde sapma gösterirler.



Şekil:17



Şekil:18

Karışımı oluşturan bileşenlerden her birinin çözünürlük limitini, C ve E noktalarının üzerinde göründüğü eğriler gösterir. Artan temperatür ile çözünürlük artar. Homojen sıvılarda, F noktasındaki bileşimi belirli sıvı, H noktasında ilk buhar habbesini vererek kaynar. Bu noktada buhar kompozisyonunun değerini J noktası belirler. M den daha zengin kompozisyonlar içinde aynı gerçek mevcutdur. İki fazlı sıvı karışımında, kompozisyon değişimi K M eğrisi boyunca olup sıvı karışım sabit bir temperatürde kaynar. Eğer basınç buharlaşmanın olamayacağı kadar yüksek ise sıvı çözünürlük eğrileri şekildeki gibi kırılır. L noktasındaki sıvı karışımın ortalama kompozisyonu ile ortamdaki buhar aynı kompozisyonadır. Bütün bu özellikler hetero azeotoplarda gözlenmiştir. Sayısı sınırlı olan bazı durumlarda azeotropik kompozisyon çözünmezlik limitinin dışındadır.

Örneğin, Metil etil keton - Su sistemi böyledir. /13/

Laboratuvar ayırmalarında , uçucu sıvı karışımıları ile çalışılırken , karışımındaki en az bir komponentin saf olarak elde edilebilmesi amaçlanır. İlk yöntem, fraksiyonlu destilasyondur, bu yöntemin kullanılabilmesi ancak sıvı karışımı oluşturan bileşenlerin farklı relatif uçuculuğa sahip olabilmesi ile mümkündür. /14/

Bir homolog seride maddeler kimyasal yapı bakımından biribirine benzemekle birlikte, farklı moleküller ağırlık lara sahip olduklarından kaynama noktalarında farklıdır. Bir bileşenin uçuculuğu ise , o bileşenin molekül ağırlığının ve kaynama noktasının büyülüüğü ile ters orantılıdır. Aynı temperatürde kaynayan komponentler, birbirlerinden farklı serilerde ve farklı moleküller yapı içersindedirler. Sıvı karışımındaki komponentlerin birbirlerinden ayrılabilirleri için, çalışılan sisteme ilâve edilen bir çözücü yada madde , moleküller yapı bakımından biribirine benzemeyen, yakın kaynamalı her bir bileşen ile farklı reaksiyonlar verecektir. Bu şekilde yakın kaynama noktalı komponentleri ayırmak mümkün olacaktır.

Bu ayırma işlemi AZEOTROPİK yada EXTRAKTİF DESTİLASYON yöntemi ile yapılır./15/

Bir diğer yöntem ise İNDİRGENMİŞ BASINÇ etkisi altında destilasyon ile ayırmadır.

2.7 AZEOTROPİK DESTİLASYON /16/

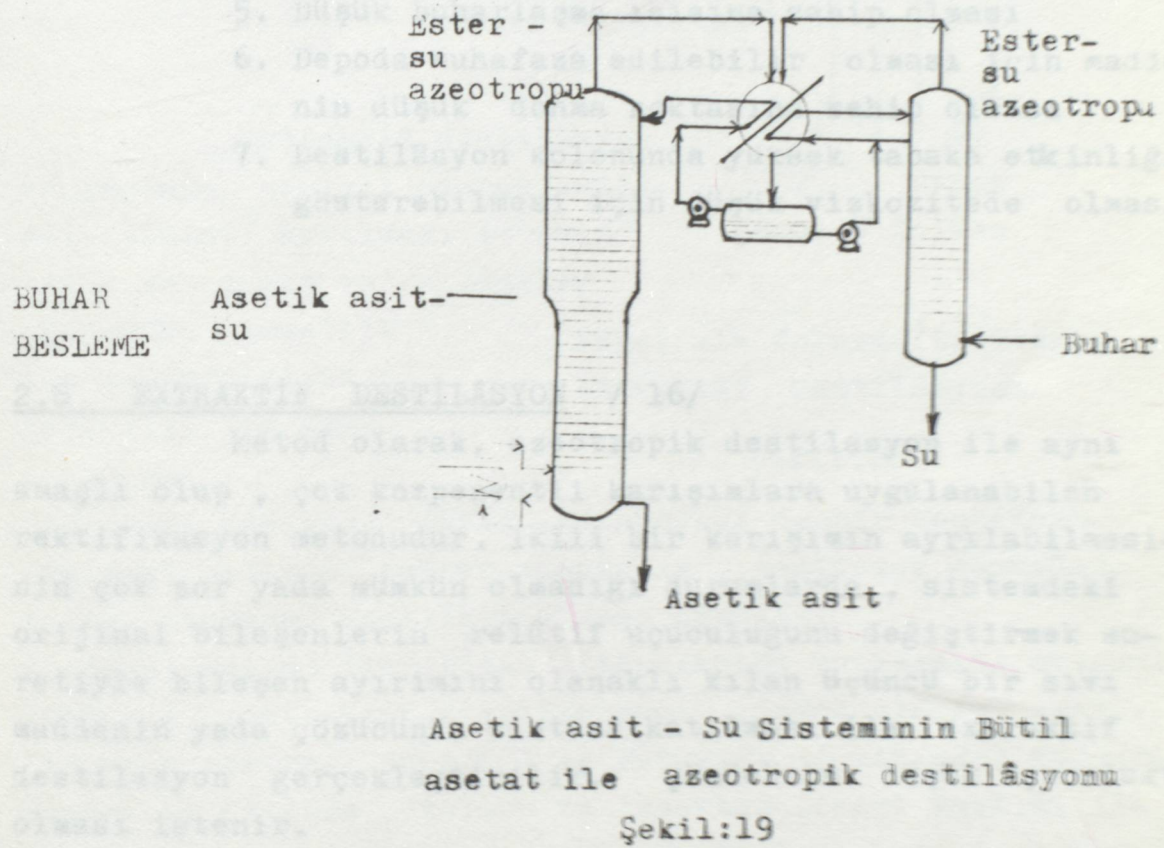
Çok bileşenli destilasyonun özel bir şekli olup , ikili karışımıları fraksiyonel olarak bileşenlerine ayıratmanın çok zor yada mümkün olmadığı durumlar için kullanılır. Eğer ikili karışımın relatif uçuculuğu çok düşük ise azeotropik karışımından safaya yakın kompozisyonlarda bileşenlerin ayrı ayrı elde edilebilmesi için yüksek oranda reflux'a ve yeterince yüksek ısıya gerek olacaktır, bu durumda destilasyon kulesi kolon çapının geniş , kolondaki plato sayısının ihtiyaca göre hesaplanması gerekecektir. Diğer taraftan, ikili azeotropik bir karışımı fraksiyonel olarak safaya yakın bir şekilde bileşenlerine ayırmak mümkün değildir.

Bu şartlarda sisteme (ikili karışımı) üçüncü bir komponentin (entrainer) ilâvesi ile yeni düşük kaynama noktalı azeotrop meydana getirmesi yoluna gidilir. Burada oluşan yeni azeotrop, başlangıçdaki ikili karışımın bir komponenti ile, sisteme ilâve edilen üçüncü komponent arasında meydana gelir. Üçüncü kompenet ile azeotrop teşkil etmeyen bileşenin uçuculuğu ortadaki diğer esas komponentlerden ayrılabilmesi teşmin edecek değerde olduğundan, serbest haldeki komponent diğerlerinden ayrılır.

Örneğin, Asetik asit - Su ikili karışımı; Bütil asetat (üçüncü komponent) ilâvesi ile ayrılabilir. Asetik asit, sudan sıradan yöntemler ile ayrılabilir, çünkü asetik asit 118.1°C de, su ise 100°C da kaynar, yani atmosferik basınçda kaynama noktaları arasındaki fark büyktür. Fakat relatif uçuculuğun küçük olması ayırma işleminin maliyetini çok yükseltecektir. Bütil asetat su içinde çok az çözünen bir maddedir, su ile $90,2^{\circ}\text{C}$ da hetero azeotrop. teşkil eder. Destilasyon kolonunun üzerinden yeterli miktarda bütül asetat ilâvesi ile ikili karışım içerisindeki tüm su, bütül asetat ile azeotrop oluşturacak ve yüksek kaynama temperatüründe olan asetik asit destilasyon ile ayrılabilecektir. Bütil asetat ile suyun oluşturdukları hetero azeotrop bir-biri içinde çözünmeye iki ayrı sıvı tabakası halindedir. Bu fazlardan birinde safya yakın bileşimde su vardır ve su ester ile doygundur. Diğer sıvı fazda ise safya yakın ester, su ile doygun haldedir. Kolondaki ester kaynağı bir başka küçük kolonda ayrılan esterin refluxı ile sağlanır. Hetero azeotropdan asetik asitin ayrıldığı ilk kolonda ısıtma ve kolondaki plato sayısının yeterli olabilmesidir. İlk kolondan sadece su değil, su ile birlikte ester de üst destillat halinde ayrılır. Destilasyon, kesikli düzende besleme ile yapılır.

Bazı durumlarda ise oluşan yeni azeotrop, üç komponentden de meydana gelebilir. Örneğin, etil alkolün suyundan uzaklaştırılmasında, üçüncü komponent olarak sisteme ilâve olarak benzen katılır.

% 53.9 Benzen, % 23.3 Su, % 22.8 Etilalkol kompozisyonundaki azeotrop, 64.9°C da kaynar. Etil alkol 78.4°C da ayrılır. Bu durumda azeotropik üst ürün iki sıvı tabakası halinde ayrılır. Üst tabaka benzence zengindir reflux ile kolumnun üzerine verilir. Su bakımından zengin diğer tabaka ise kolonun altından ayrılır.



Şekil:19

Düzenleme
Diğer bazı durumlarda ise, üçüncü komponent ilâvesi ile oluşan yeni azeotrop birbiri içinde çözünmeyen iki fazı ayırmayabilir. Böyle durumlarda, sıvı ekstraksiyonuna gidilir. Açıkça görüldüğü gibi üçüncü komponentin seçimi çok önemlidir. Üçüncü komponent, ikili azeotropum sadece bir kompenenti ile tercihen düşük kaynama noktalı azeotrop tekilli edebilmelidir., mümkün olduğu kadar az miktarda üçüncü madde kullanarak sisteme yeni azeotropum relatif ugeçerlüğünün yüksek, proses ısısının az olması istenir.

Azeotropik destilasyonda kullanılacak üçüncü komponentde aranılacak başlıca vasıflar :

1. Ucuz ve hemen temin edilebilir olması
2. Kimyasal bakımdan dayanıklı ve ayrılmazı istenen çözeltiye karşı inaktif olması
3. Laboratuvar cihazında korozyona neden olmaması
4. Zehirli olmaması
5. Düşük buharlaşma ısısına sahip olması
6. Depoda muhafaza edilebilir olması için maddenin düşük donma noktasına sahip olması
7. Destilasyon kolonunda yüksek tabaka etkinliği gösterebilmesi için düşük viskozitede olması.

2.8 EXTRAKTİF DESTİLASYON / 16/

Metod olarak, azeotropik destilasyon ile aynı amaçlı olup, çok komponentli karışımrlara uygulanabilen rektifikasyon metodudur. İkili bir karışımın ayrılabilmesinin çok zor yada mümkün olmadığı durumlarda, sisteme deki orijinal bileşenlerin relatif uçuculuğunu değiştirmek suretiyle bileşen ayırmını olanaklı kıلان üçüncü bir sıvı maddenin yada çözücünün sisteme katılması ile extractif destilasyon gerçekleştirilir. Çözücünün düşük uçuculuğu olması istenir.

Parafin hidrokarbonlarından, Toluen'in ayrılması (kaynama noktası: 110.8°C) bileşenlerin molekül ağırlıklarının hemen hemen aynı olması ve karışımın azeotropik olması sebebiyle çok zordur.

Izooktan (kaynama noktası: 99.3°C) bir parafin hidrokarbondur, izooktanın toluen ile birlikte meydana getirdiği karışımındaki uçuculuğu yüksektir, fakat ayırmayı çok zordur.

Fenol (kaynama noktası: 181.4°C) varlığında ise izooktanın relatif uçuculuğu daha da büyüyecektir. Fenol konsantrasyonu sıvı karışımı içerisinde molce $\%83$ olduğunda ise toluenin

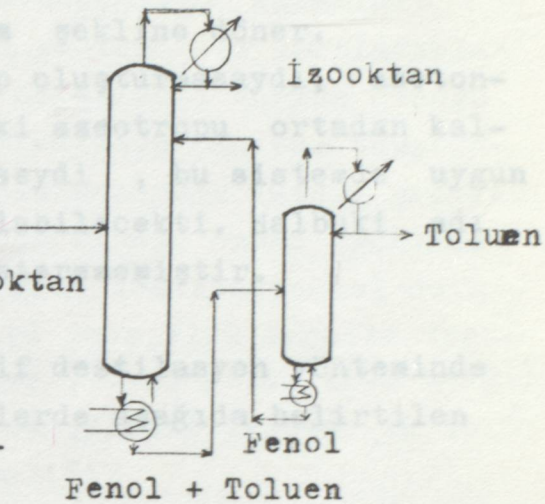
karişimdan ayrılabilmesi mümkün olacaktır.

Extraktif destilasyon kolonunun üst yanından fenol çözücü olarak ortama verilir.

Bu şartlarda izooktan kolonun üzerinden destillenirken, toluen ve fenol alttan alınır.

Bu karışım ikinci destilasyon kulesinde ayrılır.

BESLEME
Toluen + Izooktan



Fenol ile Tolu-en-Izooktanın
Extraktif Destilâsyonu

Şekil:20

Bir başka deyişle, ikili karışımındaki her bir komponent kimyasal bakımdan benzer olduğunda, seçilecek çözücünün farklı kimyasal özellikte olması gereklidir.

Örneğin, Büten-2 ile n-Bütan hidrokarbon karışımını ayırmak amacıyla, extraktif destilasyonda çözücü olarak Aseton (kaynama noktası: 56.4°C) ve Furfural bu bakımdan uygunudur. Bir önceki örnekte, toluen ve izooktan, fenol yardımı ile ayrılırken ideal olmayan sıvı çözeltiler halindedirler. Fakat izooktanın ideallikten sapması toluen'e göre daha büyüktür. Bu sebeple, her üç madde de ortamda mevcut iken izooktan ve toluen ideal olmayan karışım gibi davranışırlar, relatif uçuculuk değeri yükselmeye başlar.

Aseton (kaynama noktası: 56.4°C) ve Metil alkol (kaynama noktası: 64.7°C) ikili azeotropik karışımını ayırmada extraktif destilasyon yöntemi ile çalışılırken, uygun çözücü olarak aynı homolog seriden alifatik alkollerden Bütanol (kaynama noktası: 117.8°C) seçildiğini düşünelim...

Bütanol, metanol ile ideal çözelti oluşturur, bu sebeple hemen ayrılırlar. Bütanol'ün aseton ile yaptığı çözelti ideallikden pozitif yönde sapar ; aseton-metanol buhar - sıvı dengesi, üç bileşenli karışım şekline döner.

Eğer, bütanol aseton ile azeotrop olusturmamasaydı, aseton-metanol sıvı dengesini sisteme azeotropu ortadan kaldırabilecek şekilde değiştirebilseydi , bu sisteme uygun bir çözücü olarak Bütanol kullanılabilecekti. Halbuki adı geçen çözücü bu özelliklerini gösterememiştir.

Genel olarak Extraktif destilasyon yönteminde çözücü olarak kullanılacak maddelerde aşağıda belirtilen özellikler aranır:

1. Yüksek Seçimlilik

Orijinal karışımı komponentlerine kolayca ayırmak için , sistemin buhar - sıvı dengesini değiştirebilme kabiliyeti

2. Yüksek Kapasite

Karışımın komponentleri içinde çözünme kabiliyeti. Bu çözünme tamamıyla olmasa bile hemen olmuşsa çözücü epey seçimlidir.

3. Düşük Uçuculuk

Sıvı fazda yüksek konsantrasyonda bulunan çözücünün, kolonda buharlaşma ile üst ürün halinde ayrılmasını önlemek için gereklidir.

4. Ayrılabilirlik

Karışımındaki orijinal bileşenler ile azeotrop oluşturamalıdır.

5. Ucuzluk

6. Düşük Viskozite

7. Düşük Donma Noktası

8. Zehirli olmaması

9. Korozif olmaması

2.9 İNDİRGENMİŞ BASINÇDA DESTİLASYON

Bir çok organik madde, kaynama noktasına kadar ısıtılmadan bile, kimyasal yönden bozunmaya uğrarlar. Böyle organik maddeler destilasyon yöntemi ile ayrılacaklar ise, ortamın temperatür ve basınç değerleri mümkün olduğu kadar küçük olabilecektir. Destilasyonun minimum temperatürde yapılması durumunda, organik maddenin ısisal şartlar dan etkilenerek bozunmasının da bir ölçüde önüne geçilmiş olunur. Düşük basınç altında yapılan destilasyonda; dolgu- lu destilasyon kulesi, fincan tipi yada elek tepsili destilasyon kulesi kullanılabilir. Ancak, 0.05 psia. (2.6 mmHg.) değerlerine kadar düşük basınçlarda çalışıldığında bu şartlara uygun tepsi sayısı hesaplanmalıdır.

Yanda şekli görülen, duş tipi tepsili

(shower tray) destilasyon kulesi,

0.015psia (0.75mmHg) basınçda

kullanılır,

Mekanik karıştırmalı spreyli ve ıslak duvarlı kolonlarda daha düşük basınç değerleri ile çalışmak mümkündür.

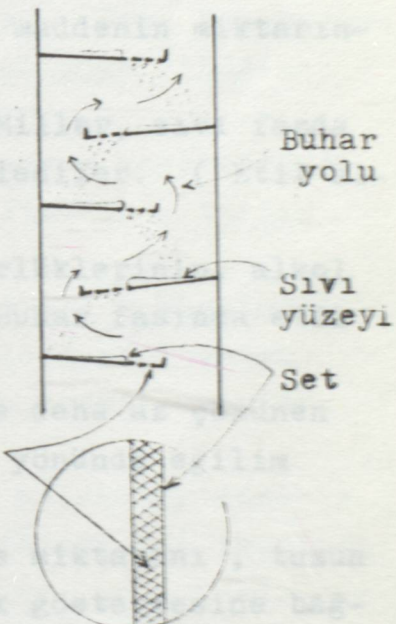
Düşük basınçda destilasyon, birçok doğal maddelerin ayrılığında kullanılan bir yöntemdir.

(Hayvanlardan bazı vitaminlerin eldesinde , Delikler

balık yağından plastikles-

tirici gibi birçok sentetik

endüstriyel maddenin eldesinde.)



Şekil:21

2.10 TUZ ETKİSİNİN KİMYASI

Ayırıcı komponent ile , extractif destilasyon yapıldığında; sıvı faz içinde ayrılması istenen bileşenlerden biri ile , seçici moleküller assosiasyon başarılıabilirse komponentler arasındaki sıvı - buhar dengesi değiştirilebilir. Sıvı ayırıcı komponent molekülleri ya da tuz iyonları besleme komponentlerinden biri ile moleküller assosiasyon kompleksleri haline gelme eğiliminde olduklarından, diğer komponent moleküllerinden ayrılırlar.

Sistemin relatif uçuculuğu değişir, ayrılma işlemi kolaylaşıırken, azeotrop kaydırılır.

Eğer ilâve edilen ayırıcı maddenin , ikili sisteme her iki komponent ile de kompleks yapma durumu olursa , relatif uçuculuk düşme eğilimi gösterebilir. Fakat bu konuda ayırıcı maddenin seçici üstünlüğü , ayırıcı maddenin miktarında gizlidir.

1891 de. Kablukov, 1897 de Miller, sıvı fazda çözünmüş değişik tuzların etkisini incelediler. (Etil alkol - Su ikilisi için)

Neticede , bütün tuzların sudaki çözünürlüklerinin, alkol den daha fazla olduğunu gösterdiler. Buhar fazında etil alkolü zenginleştirdiler.

Her iki araştırmacı , sıvı fazda tuz ile daha az çözünen komponentin , buhar fazında zenginleşme yönünde eğilim gösterdiğini kabul ettiler.

Sistemde buhar kompozisyonundaki değişme miktarını , tuzun saf su ve etil alkolde farklı çözünürlük göstermesine bağladılar. Tuzun miktarı, sıvı faz içerisindeki tuzun çözünürlüğü ile sınırlanıyordu.

Bu temel gözlemler doğrultusunda daha birçok sistem ile (Etilen glikol - Su , Fenol - Su , Asetik asit - Su , Metil alkol - Su , Aseton - Metil alkol , Formik asit - Su, 1 ve 2Propanol - Su) çalışılmıştır.

Kimyacılardır , son yıllara kadar, çözünmüş tuzların ayırıcı etkilerini tamamıyla anlayamamışlardır.

Bunun en önemli sebebi, tuz etkisinin açıklanabilmesinin çok kompleks olduğunu andır.

Sadece sistemden sisteme değişmekte kalmaz, sistemdeki komponentlerin konsantrasyonları ile de çok anlamlı bir değişim gösterir.

Önce basit bir sistem belirlenirse, bu sistemin iki uçucu komponent ile bir çözünen tuzdan ibaret olduğunu düşünelim. Tuz teorik olarak her iki komponent içinde tamamıyla dissosiyeye olmuş kabul edilsin.

(Sistemde, dissosiyeye olmamış tuz, dissosiyeye olmuş iki tip tuz iyonu ile beraber aslında üç tür tuz molekülü mevcuttur.) Her bir uçucu komponent üzerine (aktivitesine) bu üç türün etkisi vardır. Dolayısıyla sisteme tuzun etkisi, tuzun dissosiasyon derecesinin önemli bir fonksiyonu olduğundan sıvı faz bileşimini etkiler. Sıvı faz kompozisyonu rektifikasyon kolonunda bir noktadan diğerine farklılık göstererek değişir.

Sıvı faz içerisindeki assosiasyon kompleksleri oluşumunu sağlayan kuvvetler sistemden sisteme, tuzdan tuza farklı olabilirler.

Başlıca kuvvetler : Van der Waals kuvvetleri, Elektrostatik etkileşmelerden dolayı çekim kuvvetleri ve itmeler, Hidrojen bağları ; ya da bu kuvvetlerin kombinasyonları halindedirler.

Besleme komponentlerinin birbirleri ile moleküller düzeyde yaptıkları assosiasyon kompleksleri içindeki tuz iyonları da assosiyeye olmaya eğilim içerisindedirler, bu durumda besleme komponentlerinin uçuculuk değerlerinin değişmesi yanında bir de ortaya, bir uçucu besleme komponentinin diğeri içerisinde çözünmesindeki azalma eğilimi çıktıığından olaydaki etkiler iyice karışır..

Tuz, çözelti molekülleri ile kompleks oluşturmaktan başka (assosiasyon kompleksleri), uçucu kompenet moleküllerinin birbirleri ile yaptığı etkileşmeleri de değiştirir.

Örneğin, az miktarda alkol içeren sıvı su içindeki assosiyeye yapı /17/ böyledir.

2.11 EXTRAKTİF DESTİLASYONDA TUZ ETKİSİNİN TARTIŞILMASI

İki sıvı komponentin oluşturduğu sabit kaynama noktasına sahip bir çözeltide tuz çözündüğünde, bu çözünme sisteme birçok etkiler yaratır. Bu etkiler, sistemin kaynama noktasında değişme, iki sıvı komponentin birbiri içindeki çözünürlüklerinin değişmesi ve dengedeki buhar fazı bileşim değerlerinin değişmesi şeklinde kendini gösterir.

Ayırma komponenti olarak extractif destilasyonda sıvı yerine tuz kullanılması yeni değildir, fakat geniş bir uygulaması yapılmamıştır. Teknolojisi ve kimyası özel olup, çok iyi anlaşılamamıştır.

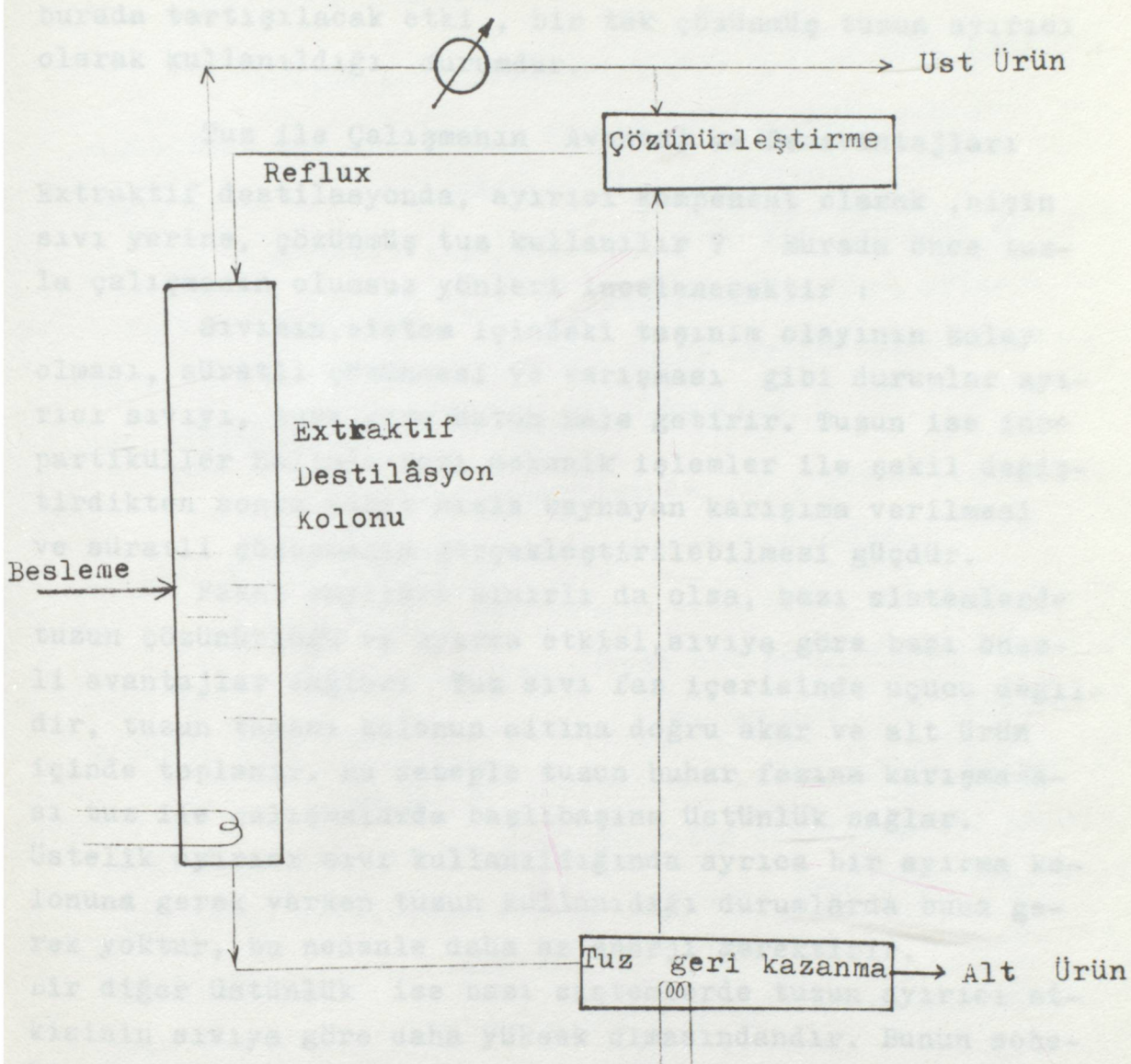
Cözünmüş katının ayırcı fonksiyon olarak kullanılabilmesi çözünürlük şartları ile sınırlanmıştır. Bu sebeple bu teknik ile çalışmak büyük dikkat gerektirir.

Bu prosesin akım şeması temelde extractif destilasyon ile aynıdır. Tek farklılık, sıvı yerine ayırcı madde nin tuz olarak seçilmesidir. Sıvı faz içerisindeki çözünmüş tuzun uçucu olmaması ve tamamiyle kolon içerisinde aşağıya doğru akması söz konusudur. (Şekil:22) Tuz her iki sıvı içinde de çözünmeli dir. Yatışın hız ile çalışan sıcak geri döngülü akıma tuzun beslenmesi kolona girmeden önce yapılır, sonra tuz tekrar kullanılmak üzere kolonun altında ayrılır.

Tuzun geri kazanılması buharlaştırma, kuruma ile sağlanır. Tuzun ayırcı olarak kullanılması, geri kazanılması, sisteme geri döndürülmesi vb. özellikleri sebebiyle tuz, sıvı solvente benzer, sisteme bir üçüncü kompenet olarak ilave edilen tuz, uçucu komponentlerin birbirinden ayrılmasını temin eder. Endüstriyel proseslerde etil alkol-su karışımlarının azeotropik destilasyon yöntemi ile ayrılmasında ayırcı madde olarak, Benzen, Toluene, Pentan kullanılır. Extractif destilasyonda ise Etilen glikol kullanılır.

Etil alkol-Su azeotropunun, tuzlu çalışma (çeşitli tuzlar) extractif yöntem ile ayırmadında Birden fazla tuzun da birarada kullanılabileceği^(x) öngörümekle beraber

(x): inert bir sıvı içerisinde çözüldükten sonra..



Ayırıcı madde olarak tuz kullanıldığında,
Extraktif Destilâyon ile ayırmayı gösteren
Akım Şeması

Şekil:22

burada tartışılacak etki , bir tek çözünmüş tuzun ayırcı olarak kullanıldığı durumdur.

Tuz ile Çalışmanın Avantaj ve Dezavantajları

Extraktif destilasyonda, ayırcı komponent olarak ,niçin sıvı yerine, çözünmüş tuz kullanılır ? Burada önce tuzla çalışmanın olumsuz yönleri inceleneciktir :

Sıvının,sistem içindeki taşınım olayının kolay olması, süratli çözünmesi ve karışması gibi durumlar ayırcı sıvıyı, tuza göre üstün hale getirir. Tuzun ise ince partiküller halinde bazı mekanik işlemler ile şekil değiştirdikten sonra sabit hızla kaynayan karışımı verilmesi ve süratli çözünmenin gerçekleştirilebilmesi güçtür.

Fakat sayıları sınırlı da olsa, bazı sistemlerde tuzun çözünürlüğü ve ayırma etkisi,sıvıya göre bazı önemli avantajlar sağlar: Tuz sıvı faz içerisinde uçucu değildir, tuzun tamamı kolonun altına doğru akar ve alt ürün içinde toplanır. Bu sebeple tuzun buhar fazına karışmaması tuz ile çalışmalarda başlı başına üstünlük sağlar. Üstelik ayırcı sıvı kullanıldığında ayrıca bir ayırma kolonuna gerek varken tuzun kullanıldığı durumlarda buna gerek yoktur, bu nedenle daha az enerji gerektirir.

Bir diğer üstünlük ise bazı sistemlerde tuzun ayırcı etkisinin sıvıya göre daha yüksek olmasındandır. Bunun sebebi, tuz iyonlarının sistem molekülleri ile karşılaştıklarında güçlü assosiasyon gösterebilmelerindendir.

Tuzun assosiasyon kuvveti, sıvıya göre daha büyündür.

Neticede tuzla ayırmada daha az ayırcı maddeye gerek duyulur. Örneğin,extraktif destilasyonda sıvı fazın %50,%90 kadarının ayırcı sıvı olması gerekirken, tuzla çalışmada bu oranın çok altında ayırcı tuz yeterli olabilir.

Ayırcı maddenin miktarı azaltılmakla,kolon çapı küçülür,ayırcı maddenin geri döngü kapasitesi, geri kazanılması azalırken işlemler için gerekli enerji de azalır.

2.12 GRUPLAŞMA TEORİSİ

Tuzlar, genellikle su içinde alkole göre daha çok çözünürler. Tuz iyonları, su ile daha kararlı kompleks yapısalar, gruplar teşkil etmeye eğilimlidirler.

Sıvı faz içerisinde tuz iyonlarının su ile meydana getirdiği yüksek aktiviteli iyonik alanlarından, alkol molekülleri (ayırıcı tuz etkisi sebebiyle) buhar fazına doğru çekildiğinden, sistemin relativ ucuuluğu yükselir.

Tuz ilâvesi olmaksızın, su, alkol, su-alkol sistemlerinde ayrı ayrı gruplaşmalar mevcutdur.

Su molekülleri bakımından zengin alanlarda, polar su moleküllerini bir araya çeken kuvvet etkindir, düşük konsantrasyondaki etil alkol molekülleri, su molekülleri arasında dağılırlar, bu esnada su molekülleri, etil alkol moleküllerine göre birbirlerini daha kuvvetle çekerler, bir ölçüde etil alkol moleküllerinin bir araya gelerek grup teşkilini önlerler. Alkol molekülleri bakımından zengin bölgede ise ters etkiler söz konusudur. Bunun sebebi alkolün daha düşük polarlıkta olmasındandır.

Alkol molekülleri bakımından zengin alanlarda, alkol molekülleri ya birbirleri ile yada su molekülleri gruplaşma teşkil ederler, serbest olup gruplaşmalarla iştirak etmemiş su molekülleri ile, etil alkol-su gruplaşmaları oluştururlar. Etil alkol-Su azeotropunun oluşumu böyle iki mukayeseli alanda belirli bir bileşimde mümkün olmaktadır.

Aynı olay, Metil alkol-Su sisteminde daha farklıdır, bunun sebebi, her iki komponentin moleküller yapı bakımından birbirine (etil alkol-su sistemine göre) daha çok benzesinden kaynaklanır. Böylece, metil alkol ve su molekülleri birlikte oluşturdukları gruplar içerisinde yer değiştirebilirler. Moleküler arası bu hareketlilik, Etil alkol-Su sistemine oranla fazladır.

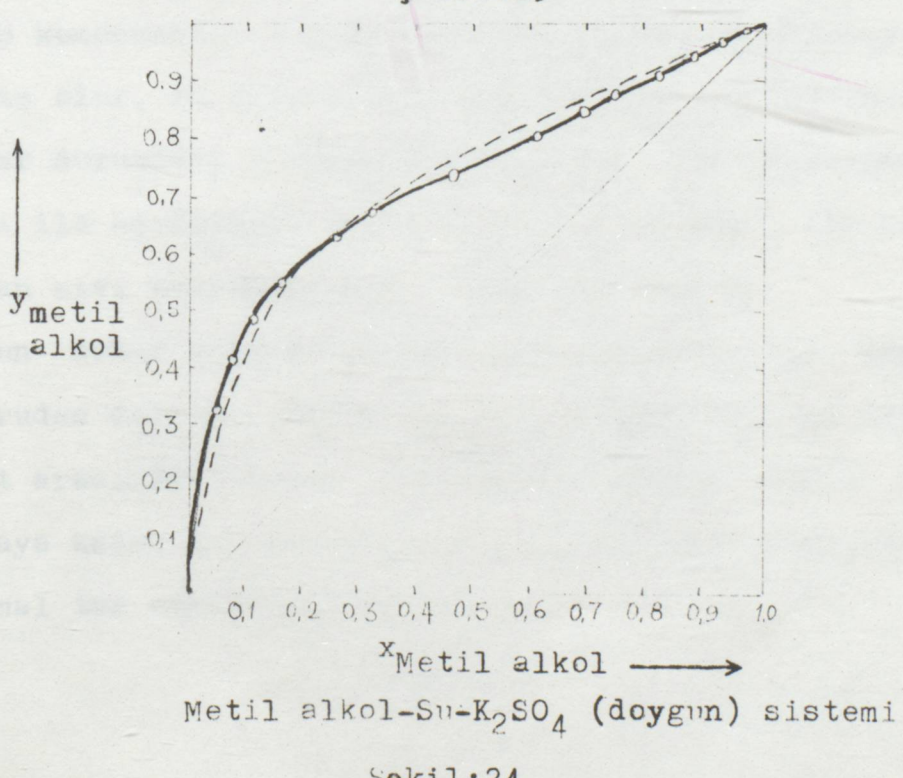
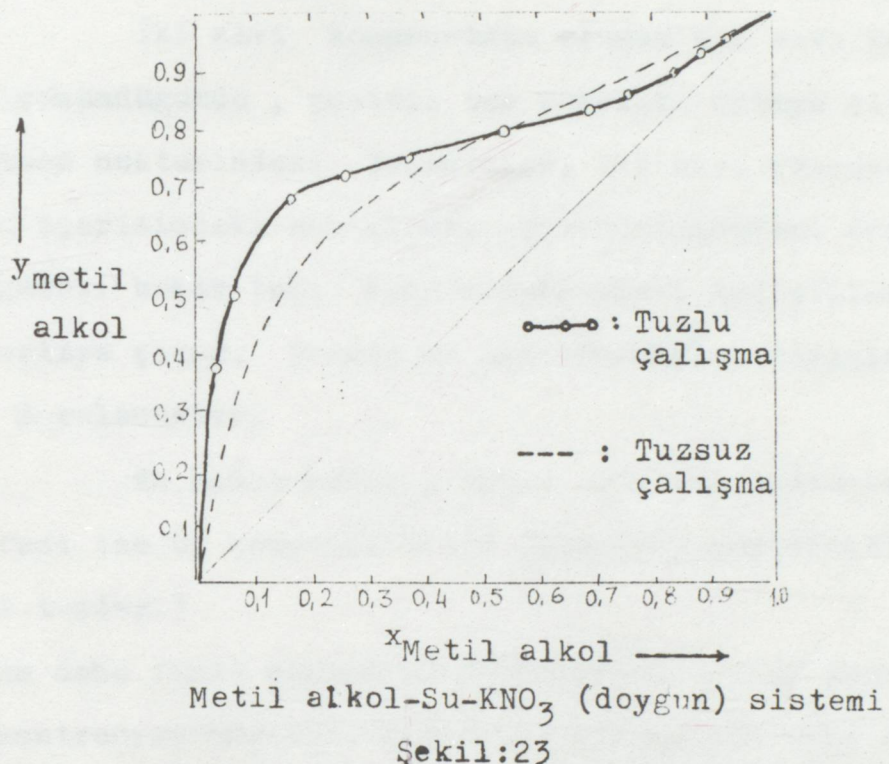
Bu postülât, Metil alkol-Su sistemindeki zayıf azeotrop oluşumunu doğrular.

Sıvı faza tuz ilâve edildiğinde ise gruplaşma modeli daha karmaşık bir hal alır:

Bunun sebebi, tuz iyonlarının kısa aralıklarla birbirleri ile ve sistemdeki polar moleküller ile birlikte oluşturdukları elektrostatik alanlar ve bu alanların karşılıklı etkileşimlerinden dir.

Tuz iyonlarının, polarlığı yüksek komponentin molekülleri arasındaki gruplaşmaları arttırdıklarına inanılmaktadır. Bununla birlikte buradaki etki ayrıca sistemdeki iki komponentin relatif miktarlarının da bir fonksiyonu dur, bir komponentin konsantrasyonunun, diğerine göre artması ile bu etki tersine dönebilir.

örneğin, Metil alkol-Su-KNO₃, Metil alkol-Su-Na₂SO₄ sistemlerinde, birinci sınıf kural dışı tuz etkisi mevcut olup, buradaki tuz etkisinin bir noktadan sonra ters yöne dönmesi (ayırıcı nitelikteki tuz etkisi, ayırıcı olmayan yöne dönüyor) olayı böyle açıklanır.



2.13 BUHAR-SIVI DENGESİ ÜZERİNE TUZ ETKİLERİNDE
BAZI İSTİSNAİ DURUMLAR

İki sıvı komponentden oluşan bir sıvı karışımında, tuz çözündüğünde, çeşitli tuz etkileri ortaya çıkar. Kaynama noktasındaki değişimler, iki sıvı komponentin bir-biri içerisindeki karşılıklı çözünürlüğündeki değişimler, dengedeki buhar fazı kompozisyonundaki değişimler şeklinde ortaya çıkar. Burada en son bahsedilen değişim üzerinde durulacaktır.

En basit halde, buhar fazı iki komponentli, sıvı fazı ise üç komponentlidir. (buradaki komponentlerden birisi tuzdur.)

Tuzun daha fazla çözündüğü komponentin buhar fazındaki konsantrasyonunda bir azalma olurken, tuzun daha az çözündüğü komponentin buhar fazındaki denge konsantrasyonunda artış olur. Bu netice ise, tuz iyonlarının tercihen daha polar durumdaki komponent molekülleri ile gruplaşma eğilimleri ile açıklanır. Böylece tuz molekülleri ile gruplaşma yapan sıvı komponentinin uçuculuğu azalır.

Tuzun buhar kompozisyonunda meydana getirdiği değişiklik doğrudan doğruya, tuzun cinsine, miktarına, iki sıvı komponent arasındaki tuzun çözünürlük farkına bağlı olur. Buraya kadar anlatılanlar, ikili bir sıvı karışımındaki normal tuz etkileridir./18/

Kural Dışı Tuz etkileri, başlıca üç kategoride incelenir:

1. Tuzun bir komponent içerisinde daha çok çözündüğü durumlarda bile, sıvı fazın kompozisyon değişiminde, ayırcı tuz etkisi (Salting out), ayırcı olmayan tuz etkisi (Salting in) ile birbirine bağlıdır.

2. Tuzun daha çok çözündüğü komponentin buhar fazında zenginleşmesi durumu

3. Tuzun, her iki komponent arasındaki çözünürlük farkının çok az olduğu durumlarda bile, buhar kompozisyonunun bir komponent bakımından zenginleşerek, önemli ölçüde değişmesi

Bu etkiler, Metil alkol-Su, Etil alkol-Su gibi polar sistemlerin buhar-sıvı dengesi üzerinde bazı tuzların etkisi ile görülür. Sistemde görülen bu değişimler, şüphesiz tuzsuz haldeki sıvı assosiasyon yapılarının, tuz ilâvesi ile bozulması ve üç komponentli yeni sistemde oluşan yeni moleküler düzeydeki gruplaşmalar ile ilgili olmalıdır. Burada, en azından 1. durum için söylenebilecek olan, alkol-su çözeltilerinde bazı fiziksel özelliklerin de bir maksimum ile bir minimum değer arasında değişim göstermeleridir.

Bu değişimler, sıvı kompozisyonun bir fonksiyonu olarak çalışılan sisteme yansır. (Karışma etkisi ile hacim değişimini karışma ısısında ve ses absorbsiyonunda değişim vb..)

2.14 AYIRICI VE AYIRICI OLMAYAN TUZ ETKİLERİ

Çözünmüş tuz molekülleri, iyonları (yada her iki si) ikili sıvı komponentlerinden birisi tarafından daha kuvvetlice çekilir, assosiye kompleksler oluşturmaya doğru bir eğilim vardır. Bu çekilme ve kompleks oluşturma , daha çok birbirine kimyasal yapı bakımından benzeyen yapılarca olur, böylece iki orijinal kompenentin uçuculuk değeri değişir.

Tuz iyonları, iki komponentli sıvı karışımın , daha fazla polar olan bileşeni ile etkili bir elektrostatik çekim alanı oluşturur, bazı durumlarda tuz her iki kompenent ile de kompleks yapar, her ikisininde uçuculukları düşebilir. Fakat bu düşme farklı miktarlarda olabilir, bunun sebeplerden dolayı tuzun nasıl seçileceği önemlidir.

Tuz, daha az uçucu kompenent ile kompleks yapmayı tercih ediyorsa ve az uçucu kompenentin miktarı, uçucu kompenentin miktarından daha büyük ise, az uçucu kompenentin uçuculuğu azalır. Neticede , relatif uçuculuk değeri artar, buhar da-na uçucu kompenentce zenginleşir .

Benzer şekilde, tuz eğer uçucu kompenent ile kompleks yapmayı tercih ederse , sistemdeki relatif uçuculuk değeri azalır, buhar daha az uçucu kompenent ile zenginleşecektir.

"Benzer benzeri çözer " de olduğu gibi , benzer benzer ile kompleks yapma veya assosiye olma eğiliminde dir. Tuz etki teorisinin empirik sonuçları, tuzun daha az çözündüğü sıvı kompenentce buhar fazının zenginleştiği

düşüncesini doğrular. Diğer bir deyişle, tuz az uçucu komponent içinde daha fazla çözünüyorsa, sistemin relatif uçuculuğu artar. (AYIRICI TUZ ETKİSİ)

Tersine, daha uçucu komponentde fazla çözünüyorsa, relatif uçuculuk azalacaktır. (AYIRICI OLMIYAN TUZ ETKİSİ)

1958 yılında Prausnitz ve Targovnik isimlerindeki Rus araştırmacılar, ilk kural dışı tuz etki kategorisine giren aşağıda belirtilen sistemleri inclemişlerdir: Izopropanol-Su-NaCl , Piridin-Su-NaI , Dioxan-Su-NaCl — Potasyum benzoat , Dioxan-Su-NaCH₃COO ,

1958 yılında Proszt ve Kollar ile Meranstanda adlı araştırmacılar, Aseton - Metanol sisteminde, LiCl , LiI , NaI tuzları ile çalışırken, ilk kural dışı tuz etkisini gözlemlediler.

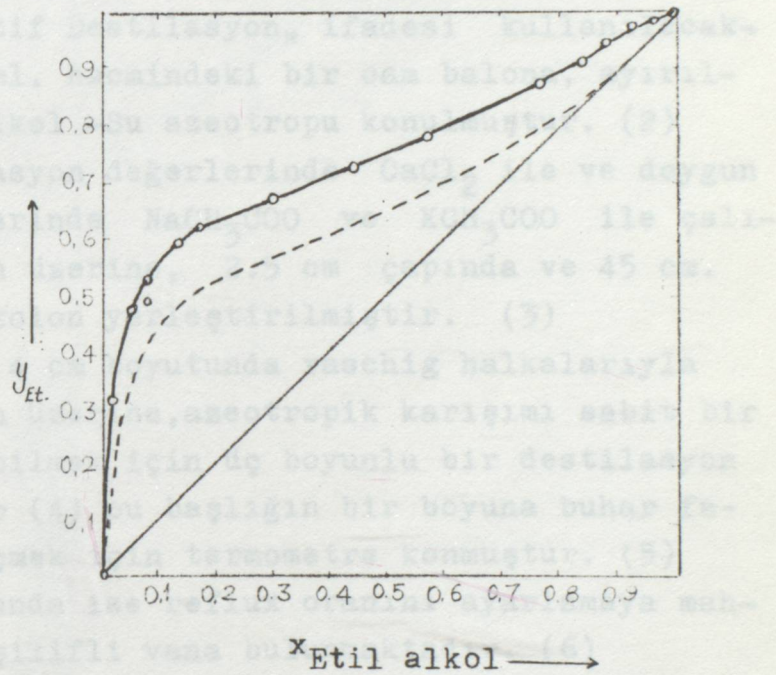
1971 yılında, Kanadalı araştırmacılardan Meranda ve Furter Metil alkol-Su-Ca(CH₃COO)₂ sisteminde, tuzun suda daha çok çözüldüğü halde buhar fazının su bakımından zenginleştiğini gördüler. Aynı durum, Etilalkol-SU-Ca(CH₃COO)₂ sistemi içinde mevcutdu. Her iki sistemde ikinci kural dışı tuz etkisi sınıfına girmektediler.

1972 yılında yine Kanadalı araştırmacılar, Metil alkol-Su karışımı üzerine, NaBr , KBr , KI tuzları ile bu tuzların karışımlarının etkilerini incelemiştir. Bu sistemlerinde ilk kural dışı tuz etkisi sınıfına girdiklerini bulmuşlardır.

Ayırıcı Tuz Etkisi ne örnek olarak, Etil Alkol-Su- CuCl_2 (doygun) sistemi alınabilir.

1952 yılında Costa ve Moragues isimli iki araştırmacı (İspanyol), bu sistem ile çalışarak aşağıdaki denge diagrameğini çizmişlerdir. Burada, noktalı çizgiler ile gösterilen eğri, saf Etil alkol-Su sisteminin denge durumundaki, buhar sıvı (Etil alkole göre) denge verileridir.

Kesiksiz çizgiler ise, sisteme doygun konsantrasyonda CuCl_2 ilâvesinden sonraki, durumda Etil alkolün buhar fazında ne denli zenginleşebileceği ni göstermektedir.



Etil alkol-Su- CuCl_2 (doygun) sistemi
Şekil:25

Bu çalışmada, Etil alkol-Su- CaCl_2 , Etil alkol-Su- KCH_3COO , Etil alkol-Su- NaCH_3COO , sistemleri ile çalışmalar yapılmış olup, her bir sistemde, tuzların etil alkolü buhar fazında zenginleştirici yönde davranışları gözlenmiştir.

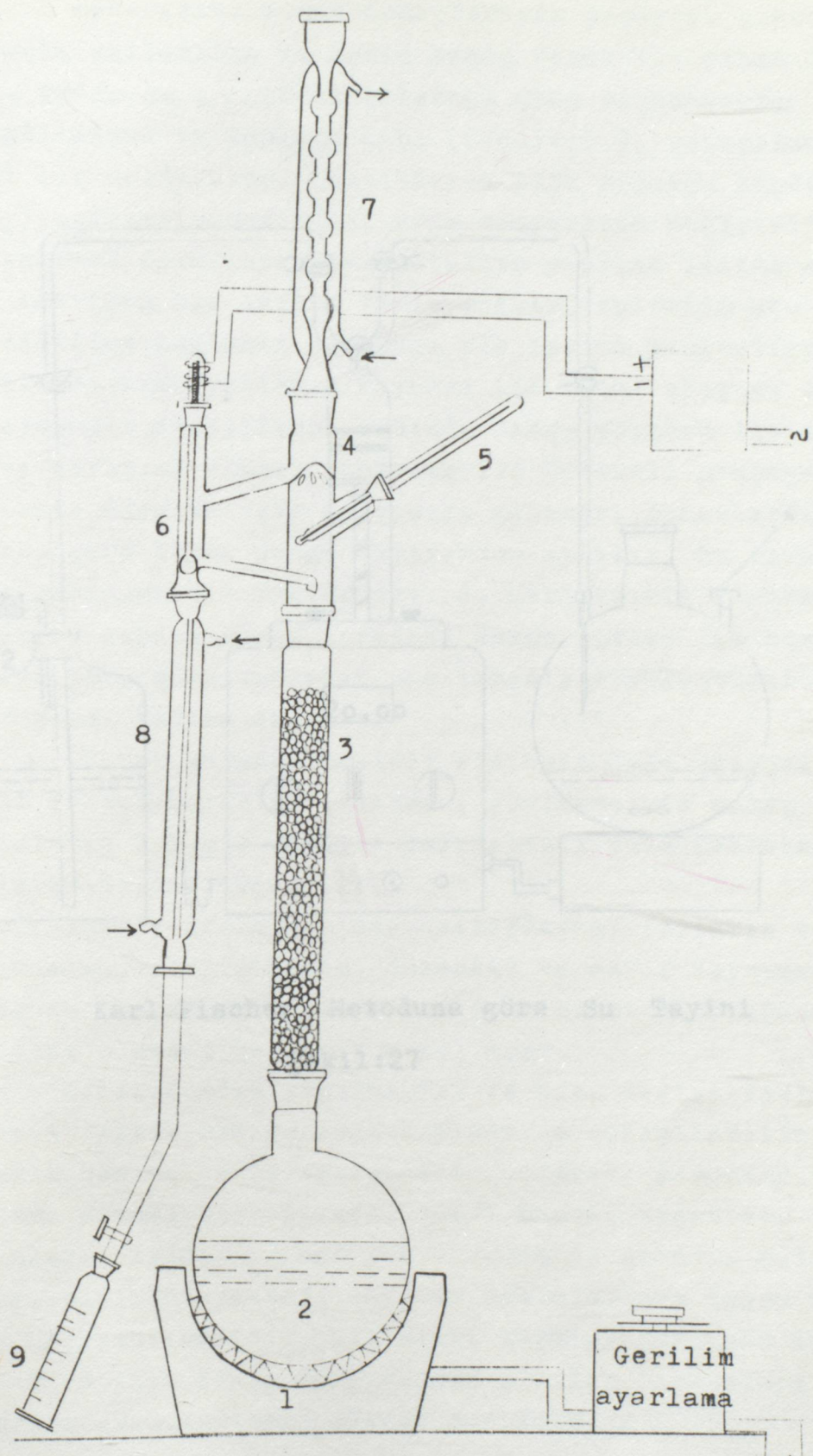
3. D E N E L K I S I M

3.1 EXTRAKTİF DESTİLASYON CİHAZI /19/

Denemelerde kullanılan cihazlardan biri Extraktif Destilasyon Cihazıdır. (Azeotropik karışımı ayırma amacıyla kullanılan komponent sıvı çözücü olmayıp, katı bir madde -tuz- olduğundan, ayırma yönteminde bahsedilirken, "Değiştirilmiş Extraktif Destilasyon," ifadesi kullanılacaktır.) Cihazda, 250 ml. hacmindeki bir cam balona, ayrılması istenen Etil alkol -Su azeotropu konulmuştur. (2) Değişik Tuz konsantrasyon değerlerinde CaCl_2 ile ve doygun konsantrasyon değerlerinde NaCH_3COO ve KCH_3COO ile çalışılmıştır. Balon üzerine, 2.5 cm çapında ve 45 cm. uzunluğunda bir cam kolon yerleştirilmiştir. (3) Kolonun içi 0.25×4 cm boyutunda raschig halkalarıyla doldurulmuştur. Kolon üzerine, azeotropik karışımı sabit bir reflux değerinde alabilmek için üç boyunlu bir destilasyon başlığı yerleştirilip (4) bu başlığın bir boyuna buhar fazın temperatürünü ölçmek için termometre konmuştur. (5) Başlığın ikinci boynunda ise reflux oranını ayarlamaya mahsus elektromanyetik şilifli vana bulunmaktadır. (6) Bu vananın akış yolu üzerine düz bir soğutucu ve bu soğutucuya numune toplayabilmek amacıyla toplama kabı yerleştirilmiştir. (8,9) **Şekil: 26**

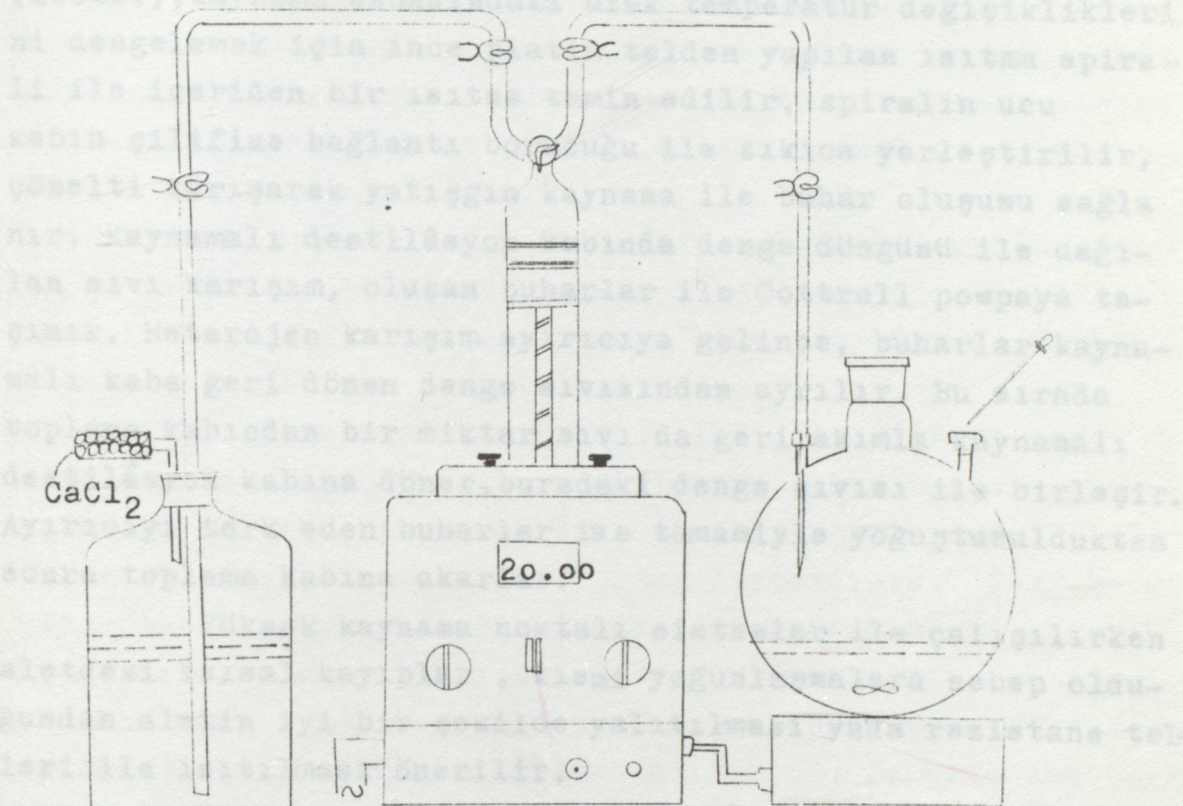
Buhar fazı (9) ve (2) sıvı faz numunelerinin bileşimleri Otomatik Titrasyon cihazı ile Karl-Fischer Su Tayini yöntemi kullanılarak tespit edilmiştir. **Şekil: 27** Titrasyon göz ile yapılmış olup, titrasyon çözeltisi sarsılığı ± 0.01 hassasiyetle kontrol edilmiştir.

Azeotropik karışım ile ve değişik bileşimlerde Alkol-Su karışımı ile tuzlu, tuzsuz denge değerleri ölçülmü için GILLESPIE Cihazı kullanılmıştır.



Şekil:26

SÜPER SİLESİTİ DİNAZ / 2000 LİTER DENGİ DİNAZLARI / 20/
Sıvılar, sıvı denge değerlerinin deneySEL olarak s-
İnamında kullanılsa ve kesin sonuç varan ilk cihazdır.
Şekil : 27'de de , , , gürültüsüzce gibi başlangıçta
destillasyon ve toplama kabı (receiver), çalışacak
 capacità ile eridurur. Dostullayan kabı oldukça küçüktür
(100ml.)



Şekil 27'de görülen cihaz, 2000 litrelik süper dengi dinazlarla
süper sistemde kullanılarak, dengesiz ve sualtı kaynaklarla
süper suyu elde etmek için Karl Fischer Metoduna göre Su Tayini
yapılabilir. Cihazda, suyun dengesiz ve sualtı değişimlerle
ile birlikte, suyun dengesizliklerini de tespit edilebilir.

Cihaz, dengesizliklerin tespiti ve sualtı değişimlerle ilgili
yüksek veya yüksek basınçlarda da kullanılabilir.
Akustik basının da tespiti içinde, kontrolli pompalarla içe-
riye suyu, dengesizliklerde, sualtı basınç değerleri için
10 cm, olası iyidir. Her iki durumda da suyun tespiti
hastalıktır, buyluk suyun tespiti kaynaklarının doğru bir
sırada tespit edilebilmesidir. Üstekski kısmın yüzüğünde intia-
litörün ve sıvı denge doğrudan ayrılmış birbirleri ile
bağlanırına unduruluları gereklidir.

3.2 GILLESPIE CİHAZI VE DİĞER DENGE CİHAZLARI /20/

Buhar, sıvı denge değerlerinin deneysel olarak alınmasında kullanılan ve kesin sonuç veren ilk cihazdır.

Şekil : 28'de de , görülebileceği gibi başlangıçda

, destilasyon ve toplama kabı (receiver), çalışılacak çözelti ile doldurulur. Destilasyon kabı oldukça küçüktür (100ml.), kaynama esnasındaki ufak temperatür değişiklikleri ni dengelemek için ince platin telden yapılan ısıtma spirali ile içерiden bir ısıtma temin edilir, spiralin ucu kabin şilifine bağlantı borucuğu ile sıkıca yerleştirilir, çözelti karışarak yataşın kaynama ile buhar oluşumu sağlanır. Kaynamalı destilasyon kabında denge döngüsü ile dağılan sıvı karışım, oluşan buharlar ile Cottrell pompanya taşınır. Heterojen karışım ayırcıya gelince, buharlar kaynamalı kaba geri dönen denge sıvısından ayrılır. Bu sırada toplama kabından bir miktar sıvı da geri akımla kaynamalı destilasyon kabına döner, buradaki denge sıvısı ile birleşir. Ayırcıyı terk eden buharlar ise tamamiyle yoğunşturulduktan sonra toplama kabına akarlar.

Yüksek kaynama noktalı sistemler ile çalışılırken aletdeki ısisal kayıplar , kısmi yoğunlaşmalara sebep olduğundan aletin iyi bir şekilde yalıtılmazı yada rezistans telleri ile ısıtılması önerilir.

Yüksek hızla yapılan destilasyon, fazların yetersiz ayırimına sebep olurken, düzensiz ve zayıf kaynama ile çalışmak da, buharların yeterince sıvı akımını taşıyamamaları ile yine olumsuz neticelere yol açar.

Cihaz camdan yapılmıştır ve ufak değişiklikler ile düşük veya yüksek basınç değerlerinde de çalışılabilir. Atmosferik basınç da çalışıldığında ,Cottrell pompanın iç çapının 8mm. olması önerilirken, düşük basınç değerleri için 10 mm. olması iyidir Her iki durumda da cihazın çalışması basittir, başlıca avantajı kaynama noktalarının doğru bir şekilde ölçülebilmesidir. Cihazdaki kısmi yoğunlaşma ihtimali, buhar ve sıvı denge döngüsünden ayrılip birbirleri ile temaslarını sürdürdükleri sürece zayıfdır.

Damlalıklı ayırıcıdan gelen sıcak artık sıvı ,kaynamalı destilasyon kabına girmeden önce toplama kabından gelen soğuk yoğunuk ile karışır, üstelik iç ısıtıcı üzerindeki buhar habecikleri ile iyi bir karmaşma temin edilir, bu sebeplerden muhtemel konsantrasyon farklılıklarını ortadan kaldırılmış olur.

Cihazın yatasının duruma erişebilmesi için geçmesi gereken zaman periyodunun çok uzun olması alet için bir dez avantajdır. Othmer, Fowler, bu sürenin 40 saat olması önerirlerken, Rieder ,Brown ,2 veya 3 saat sonra ölçüm almayı uygun görmüşlerdir.

Erdös ve Pouchly 'nin de teorik hesaplamaları bu sürenin 2 veya 3 saat olması gerektiği şeklindeydi. Bu süre toplama kabının içine yaklaşık denge kompozisyonunda çözelti konulması suretiyle kısaltılabilir .

Gillespie'nin gözlemlerine göre cihazda sürekli bir hata kaynağı mevcuttu : Ayırıcıdan çıkan buharın, gerçekte denge halinde bulunduğu sıvı ile, kaynamalı destilasyon kabından çekilen numune biribirine benzemiyordu. Yani ayırıcıdan akan sıvının bileşimi, destilasyon kabındaki sıvının kompozisyonundan farklıydı.. Öyleyse Cottrell pompa içerisindeki sıvı miktarında bir azalma, uçucu kompenetdeki kısmi buharlaşma sebebiyle meydana geliyordu. Bu hata ise özellikle relatif uçuculuğun büyük olduğu sistemler ile çalışıldığında büyülüyordu,

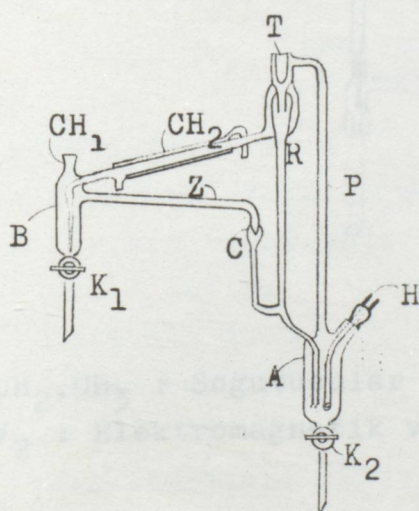
Fowler ve Fowler-Norris , cihazda bazı değişiklikler yaptılar, daha ileri derecedeki geliştirmeler ise, Otsuki ve Williams tarafından gerçekleştirildi. Fowler-Norris cihazındaki ana farklılık, ayırıcıdan dönen sıvının, özel bir toplayıcıda toplanmasıdır.

Dvora'k - Boublík 'in birlikte geliştirdikleri cihaz da Şekil:31 de görüldüğü gibidir. Özellikle relatif uçuculuğun büyük olduğu sistemler için

uygundur.

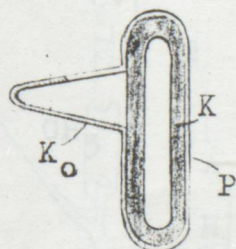
Brown'ın cihazı, elektrikli kontrol valflerinin cihazdaki sirkülasyonu bozmaksızın, sıvı örnek alabilmesi bakımından üstündür. Bu şekilde, cihaz durdurulduğunda, dış atmosfer ile olan bağlantı neticesinde cam cidarlardan sıvıının akarak toplama kabi içindeki bileşimi bozması ve yoğunluğun kısmi buharlaşması gibi durumlardan ileri gelebilecek hatalar minimuma indirilmiştir. Küçük bir soğutucu (CH_3) damlalıklı ayırıcıdan dönen sıvıyı, toplama kabından dönen sıvı (yoğunlaşmış buhar) ile birleştirmeden önce soğutur. Neticede destilasyon kabındaki dengesiz buharlaşma ihtimali de tamamen ortadan kaldırılmıştır. Bu cihaz, özellikle yüksek relatif uçuculuk gösteren sistemler ile çalışıldığında çok kesin sonuçlar verir.

Bu çalışmada, denge sıvı-buhar verileri Gillespie cihazı ile çalışılarak alınmıştır. Özellikle destilasyon kabında kirlilik yaratmadığı için dışarıdan elektrikle ısıtma sistemi uygulanmıştır.



Gillespie Cihazı

Şekil:28



Gillespie Cihazı
Sirkülasyonu

Şekil:29

A : kaynamalı kap (destilasyon kabı)

P : Cottrell pompa

T : Termometre şilifi

R : Damlalıklı ayırıcı

K_1 , K_2 : Buhar, sıvı faz kompozisyonlarının tayini için örnek alma muslukları.

B : Toplama kabı

CH_1 , CH_2 : Soğutucular

Z : Toplama kabından destilasyon kabına doğru dönen yoğunluksuz maddenin izlediği yol.

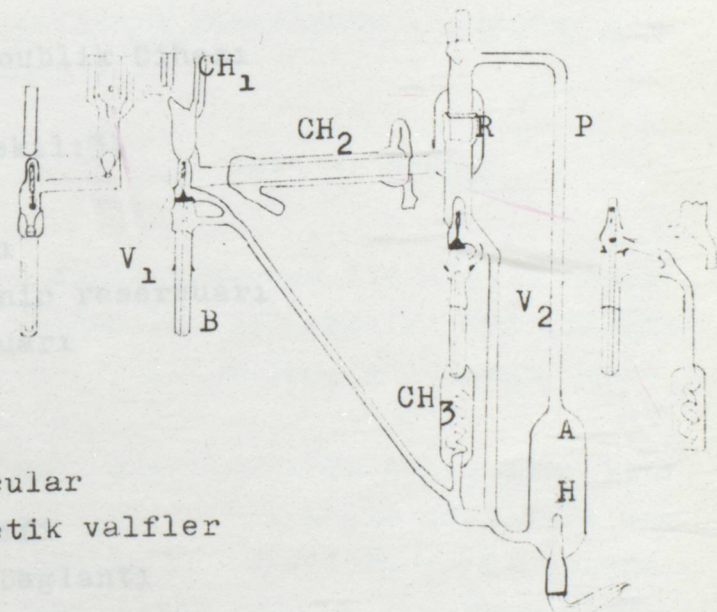
C : Damla sayacı

H : Elektrikli iç ısıtma

K : sıvı

P : buhar

K_0 : geri dönen yoğunlaşmış madde .

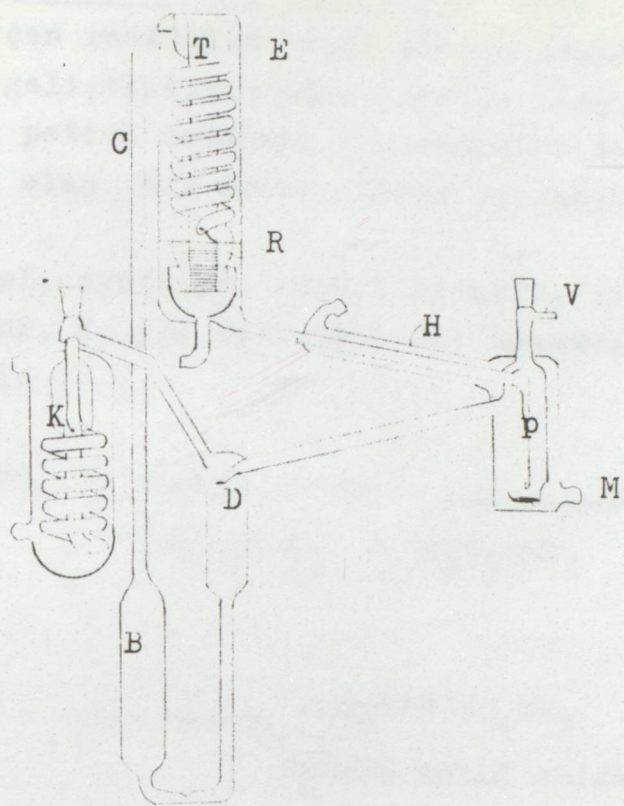


CH_1 , CH_2 , CH_3 : Soğutucular

V_1 , V_2 : Elektromagnetik valfler

Brown 'nın Cihazı

Şekil : 30



Dvorak-Boublik Cihazı

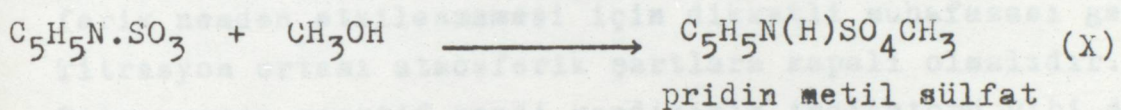
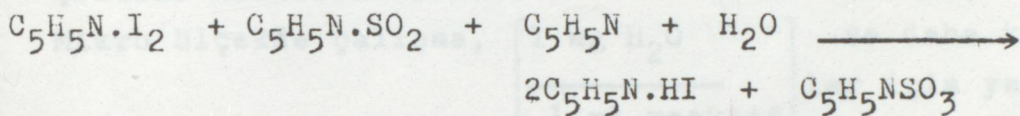
Şekil: 31

- B : Destilasyon kabı
- P : Yoğuşmuş maddenin reservuarı
- K : Sıvının reservuarı
- D : Damlalık sayıcı
- C : Cottrell tübü
- R : Denge hücresi
- T : Termometre şilifi
- V : Dış atmosfere bağlantı
- M : Mağnetik karıştırıcı
- H : Soğutucu

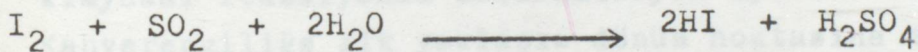
3.3 KARL FISCHER REAKTİFİ İLE SU TAYİNİ /21/

1935 yılında, adı geçen reaktifin keşfi ile su tayininde güvenilir bir metod geliştirilmiş oldu. Besin, ilaç, tekstil, plastik, sabun, petrol ürünlerini vb.. endüstri dallarında, KFR ticari önemi olan bir madde olarak kullanılmaktadır.

KFR; methanol, pyridine, kükürt dioksit, iyod içeren bir kompozisyondur, su ile aşağıdaki iki basamaklı kimyasal reaksiyonu verir :



Karl Fischer, yukarıdaki reaksiyonu, Bunsen' nin aşağıdaki reaksiyonuna benzetir:



Reaktifin, etkin gücü iyod konsantrasyonu ile ilgili olmaktadır. En yaygın olarak kullanılan methanolik KFR çözeltisiindeki komponentlerin oranı : $1\text{I}_2 + 3\text{SO}_2 + 10\text{C}_5\text{H}_5\text{N}$ şeklindedir.

Johanson tarafından önerilen tarz çalışmada, pyridin, methanol, kükürt dioksit içeren ilk kısmı çözeltide analiz edilecek sulu numune çözülür ve ikinci kısmı oluşturan iyodlu methanol çözeltisi ile titre edilir. Bu şekilde reaktifin kısa sürede bozunmasının önüne geçilebilir.

Methanol yerine daha farklı maddelerin kullanılabileceği önerilmiştir, Metil Cellosolve, Peters, Jungnickel tarafından teklif edilmiştir

Blomgren ve Jenner, methanollu reaktifin stabil halde tutulabilmesi için I_2 / I^- oranının 3.2 olması ve sırasıyla, kükürt dioksit ve pyridin konsantrasyonlarının 1.2 ve 3.5 mol/l. olması gerektiğini ileri sürmüştür. ()

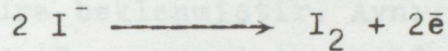
Göz ile takip ederek veya elektrometrik titrasyon yöntemi ile KFR ile çalışmak mümkündür, her iki yöntem de makro analizler için uygundur. Fakat mikro analizlerde elektrometrik yöntem daha uygundur. Makro titrasyon için kullanılacak reaktifin konsantrasyonu: $\left(\frac{3-6 \text{ mg H}_2\text{O}}{1 \text{ ml reaktif}} \right)$ olacak şekilde hazırlanmalıdır.

Mikro ölçekte çalışma, $\left[\frac{1 \text{ mg H}_2\text{O}}{1 \text{ ml.reaktif}} \right]$ ve daha küçük değerler için yapılır.

Su tayini yapılacak numunenin ve reaktifin atmosferik neden etkilenmemesi için dikkatli muhafazası gereklidir. Titrasyon ortamı atmosferik şartlara kapalı olmalıdır. Titrasyonda reaktif kendi kendisinin indikatorü gibi davranışır, ortamda su mevcut iken, çözelti kanarya sarısı rengini korur, dönüşüm noktasına doğru kromat sarısına döner, ortamın renginin kahverengileşmesi, aşırı reaktif ilavesi ile kimyasal reaksiyonda kullanılmayan iyoddan ileri gelir. Kahverengiliğe ilk yaklaşım dönüşüm noktasına tekabül eder. Bu noktada, methanoldeki iyodür konsantrasyonu 0.01 N.dir. Göz ile yapılan titrasyonlarda pratik olarak $\left[\frac{0.5 \text{ mg.H}_2\text{O}}{0.2 \text{ ml reaktif}} \right]$ -veya daha az reaktife karşı gelecek- şekilde hesaplanmalıdır. Yöntem, renksiz veya çok az renkli çözeltiler için uygundur.

Elektrometrik titrasyon ile çalışma hassas netice verir, "ölü mokta teknigi ile çalışırken çogunlukla platin elektrodlar kullanılır. Bu teknik, elektrometrik titrasyonun bir özel şekli olup öyle sistemlere uygulanabilirki böyle sistemlerde elektrodun polarizasyondan depolarizasyona geçmesi (veya tersi) belirgin bir geçiş olup titrasyonun dönüşüm noktasına karşılık gelir. Bu, ortamda indirgen /yüksektgen bir çift gerektirirki bu çift KFR içinde daima

mevcut olan iyodür, iyod dur. Pratik olarak, inert metalik elektrodlar arasında doğan düşük bir potansiyel farklılık polarizasyonun elektrik akımına dönmesi ile dengelenir. Bu şartlarda ortamda su olduğu sürece akım yoktur, dönüm noktasında, az miktardaki iyodun katodda depolarize olması ile ani bir akım yükselmesi olur. Bu amaçla cihaz ticari olarak "ölü nokta teknigi" ile çalışır, el ile yada otomatik titrasyon metodları ile makro veya mikro ölçekte denemelerde uygundur. Kolorimetrik olarak su tayini yapılırken otomatik titratör ile KFR sarfiyatı kontrol edilir.



reaksiyonuna göre KFR sarfiyatı ile biriken iyodür iyonları iyoda döner, bu maddenin ise elektriksel iletkenliği 100 %'e yakındır.

Bu çalışmada, Etil alkol-Su ikilisine ait sıvı ve buhar fazlarındaki su tayinleri otomatik titrasyon cihazı ile ve gözle yapılmıştır.

edilecek sıvıdan önce kapiller bir damllıkla, bir kez damla konur, balonun içerişinde, K.F.R den etkilenmemiş bir ışılıcı olduğunu için, 0.01 daliş olarak bulunduruşturur. Bu ortamda titrasyon, göz ile dönüm noktası rengi kentrol edilenek yapılmıştır.

3.4 DENEYSEL ÇALIŞMA

Deneysel Kısmında ayrıntıları ile anlatılan başlıca üç cihaz ile denemeler yapılmıştır.

1. Gillespie Cihazı , 2. Otomatik Titratör ile Karl Fischer Yöntemi ile Su tayini

3. Değiştirilmiş Extraktif Destilâsyon Kolonu.

Gillespie Denge Cihazı ile çalışma yapılırken, önce çalışılacak sıvı kompozisyon ile altın denge durumuna gelebilmesi için takriben her defasında bir saat kadar bir süre beklenmiştir. Aynı durum, Kolon çalışmaları için de söz konusudur. Bilâhare aletden alınan sıvı ve buhar fazındaki sıvı kompozisyonlar, küçük numune şişelerine (ortalama 16 gramlık) alınmıştır.

Karl Fischer Reaktifi, çalışma koşullarında ,standardize edilmiştir.Bu amaçla, öncelikle reaktifin, 1 ml.'sinin kaç mgr. suya kaşılık geldiği hesaplanmıştır. Bu işlem çalışma şartlarının uzunluğuna göre, günde en az bir defa olacak şekilde yapılmıştır. Bu temel bilgi doğrultuında, Şekil (27)'de görülen balonun içerisinde tayin edilecek sıvidan ince kapiler bir damlalıkla,birkaç damla konur. Balonun içerisinde , K.F.R den etkilenmeyen bir çözücü olduğu için, CCl_4 daimi olarak bulundurulmuştur. Bu ortamda titrasyon, göz ile dönüm noktası rengi kontrol edilerek yapılmıştır.

4. DENEYSEL VERİLER VE HESAPLAMALAR

Gillespie Cihazı ile Etil alkol-Su ikili sıvı karışımı için alınan denge verileri iki bölüm halinde (tuzsuz ve tuzlu çalışmalar olmak üzere), tablo 1 de gösterilmiştir.

Sadece azeotropik karışım için Gillespie denge cihazı ve D. Extraktif Kolonda alınan deneysel bulgular karşılaştırılmış olarak Tablo 2 de verilmiştir. Bu tabloda, artan CaCl_2 konsantrasyonunun sistem üzerine etkisi görülmektedir.

Gillespie Cihazı denge verilerine göre Carlson ve Colburn tarafından yeniden düzenlenen iki sabitli Margules denklemleri ile önce sisteme uygun sabit değerler hesaplanmış, sonra Su ve Etil alkol için aktivite katsayıları bulunmuştur. Su ve Etil alkole ait buhar basınçları altı sabitli ANTOINE Bağıntısından her defasında, sistemin denge durumundaki temperatür değerine göre hesaplanmıştır, Margules Denklemi Sabitlerinin hesabında kullanılan denk-

lemeler : /22/

$$A = \left[\frac{(x_2 - x_1) \log \gamma_1}{x_2^2} + \frac{2 \log \gamma_2}{x_1} \right] \quad B = \left[\frac{(x_1 - x_2) \log \gamma_2}{x_1^2} + \frac{2 \log \gamma_1}{x_2} \right] \dots (80)$$

Antoine Bağıntısı : /23/

$$\ln P \text{ (atm.)} = c_1 + \frac{c_2}{c_3 + T} + c_4 T + c_5 T^2 + c_6 \ln T \dots \quad (81)$$

$c_1, c_2, c_3, c_4, c_5, c_6$: sabitler
 T : temperatür
 $(^\circ\text{K})$

Table 1

$\text{CaCl}_2 + \text{Ca(OH)}_2 \rightarrow \text{CaCO}_3 + \text{H}_2\text{O}$ Sistemi Denge Verileri (Gillespie Cihazı ile)

$\text{C}_2\text{H}_5\text{OH} - \text{H}_2\text{O}$ Sistemi Denge Verileri (Gillespie Cihazı ile)

| Tuzsuz Çeligmeler | | Tuzlu Çeligmeler | | | | | | | |
|----------------------------------------------------------------------|-----------------------------------------------|-----------------------------------------------|-----------------------------------------------|-----------------------------------------------|-----------------------------------------------|-----------------------------------------------|-----------------------------------------------|-----------------------------------------------|-----------------------------------------------|
| | Buhar Sıvı | Buhar Sıvı | Buhar Sıvı | Buhar Sıvı | Sıvı | Buhar Sıvı | Sıvı | Buhar Sıvı | Sıvı |
| %3.00 $\text{C}_2\text{H}_5\text{OH}$ %97.00 H_2O | 0.09 mol $\text{C}_2\text{H}_5\text{OH}/1$ | 0.18 mol $\text{C}_2\text{H}_5\text{OH}/1$ | 0.27 mol $\text{C}_2\text{H}_5\text{OH}/1$ | 0.32 mol $\text{C}_2\text{H}_5\text{OH}/1$ | 0.45 mol $\text{C}_2\text{H}_5\text{OH}/1$ | 0.45 mol $\text{C}_2\text{H}_5\text{OH}/1$ | 0.45 mol $\text{C}_2\text{H}_5\text{OH}/1$ | 0.45 mol $\text{C}_2\text{H}_5\text{OH}/1$ | 0.45 mol $\text{C}_2\text{H}_5\text{OH}/1$ |
| 40.00 % 20.75 % | 41.16 21.45 | 6.72 2.74 | 41.92 22.02 | 6.60 2.70 | 42.29 22.28 | 6.57 2.68 | 44.05 23.55 | 6.62 2.70 | 47.20 25.91 |
| 45.00 % 76.45 % | 23.55 77.89 | $\text{C}_2\text{H}_5\text{OH}$ 43.21 | 0.09 mol $\text{C}_2\text{H}_5\text{OH}/1$ | 0.18 mol $\text{C}_2\text{H}_5\text{OH}/1$ | 0.27 mol $\text{C}_2\text{H}_5\text{OH}/1$ | 0.32 mol $\text{C}_2\text{H}_5\text{OH}/1$ | 0.45 mol $\text{C}_2\text{H}_5\text{OH}/1$ | 0.45 mol $\text{C}_2\text{H}_5\text{OH}/1$ | 0.45 mol $\text{C}_2\text{H}_5\text{OH}/1$ |
| 50.01 % 57.96 % | 78.57 59.95 | 43.18 22.92 | 79.28 59.95 | 43.18 22.92 | 80.75 62.13 | 43.11 22.87 | 80.82 62.25 | 42.98 22.70 | 81.06 62.61 |
| 55.00 % 62.90 % | 59.00 62.26 | $\text{C}_2\text{H}_5\text{OH}$ 69.09 | 0.09 mol $\text{C}_2\text{H}_5\text{OH}/1$ | 0.18 mol $\text{C}_2\text{H}_5\text{OH}/1$ | 0.27 mol $\text{C}_2\text{H}_5\text{OH}/1$ | 0.32 mol $\text{C}_2\text{H}_5\text{OH}/1$ | 0.45 mol $\text{C}_2\text{H}_5\text{OH}/1$ | 0.45 mol $\text{C}_2\text{H}_5\text{OH}/1$ | 0.45 mol $\text{C}_2\text{H}_5\text{OH}/1$ |
| 60.01 % 65.48 % | 64.76 39.23 | 62.26 46.66 | 84.76 71.97 | 69.09 38.41 | 86.78 74.70 | 61.45 38.87 | 88.90 75.31 | 61.30 38.26 | 90.46 78.77 |
| 65.00 % 70.48 % | 68.52 55.35 | 46.66 94.28 | 71.97 95.83 | 38.41 94.20 | 74.70 95.97 | 38.87 94.15 | 75.31 95.99 | 38.26 94.16 | 78.77 95.99 |
| 70.01 % 77.00 % | 68.92 86.58 | 46.00 86.40 | 71.86 90.00 | 38.30 86.32 | 74.86 90.35 | 38.26 86.32 | 75.21 90.35 | 38.26 86.32 | 78.07 94.16 |

Table: 2

| CaCl ₂ - Azeotropik Karışım (C ₂ H ₅ OH - H ₂ O) Sisteminde Denge Verilerinin Karşılaştırılması | | | | | | |
|-----------------------------------------------------------------------------------------------------------------------------------------------|-----------------------------------|-----------------------------------|-----------------------------------|-----------------------------------|-----------------------------------|----------------|
| Tuzsuz Çalışmalar | | | Tuzlu Çalışmalar | | | |
| | Buhar Sıvı | Buhar Sıvı | Buhar Sıvı | Buhar Sıvı | Buhar Sıvı | Sıvı |
| Gillespie Cihazı ile Çalışmalar | | | | | | |
| %87.00 C ₂ H ₅ OH %13.00 H ₂ O | 0.09 mol CaCl ₂ / 1 | 0.18 mol CaCl ₂ / 1 | 0.27 mol CaCl ₂ / 1 | 0.32 mol CaCl ₂ / 1 | 0.45 mol CaCl ₂ / 1 | |
| Ağ.% 94.48 Mol% 87.00 | 94.35 88.92 | 94.28 86.58 | 95.83 90.00 | 94.20 86.40 | 95.97 90.31 | 94.15 86.30 |
| | | | | | 95.99 90.35 | 94.16 86.32 |
| Değiştirilmiş Extraktif Kolonda Çalışmalar | | | | | | |
| %87.00 C ₂ H ₅ OH %13.00 H ₂ O | 0.09 mol CaCl ₂ / 1 | 0.18 mol CaCl ₂ / 1 | 0.27 mol CaCl ₂ / 1 | 0.32 mol CaCl ₂ / 1 | 0.45 mol CaCl ₂ / 1 | |
| Ağ.% 94.48 Mol% 87.00 | 96.06 90.51 | 91.05 79.92 | 96.40 91.29 | 91.32 80.46 | 91.47 80.75 | 91.52 80.87 |
| | | | | | 97.34 93.47 | 97.24 93.47 |

Etil alkol için Antoine Sabitleri :

$$\begin{array}{lll} C_1 = 123.912035 & C_2 = -8754.0896 & C_3 = 0 \\ C_4 = 0.020198435 & C_5 = 0 & C_6 = -18.1 \end{array}$$

Su için Antoine Sabitleri :

$$\begin{array}{lll} C_1 = 70.4346943 & C_2 = -7362.6981 & C_3 = 0 \\ C_4 = 0.006952085 & C_5 = 0 & C_6 = -9.0 \end{array}$$

Margules Denklemi sabitleri hesaplanmasında kullanılan aktivite katsayıları için, çalışılan sistemde buhar fazının ideal bir çözelti gibi davranışlığı kabul edildiğinden, (71) numaralı sağıntı kullanılmıştır.

$$y_i = \frac{x_i P_i \gamma_{iL}}{P_T} \quad \dots \quad (71)$$

x , y değerleri, her iki bileşen için ayrı ayrı denge durumundaki, sırasıyla sıvı ve buharın mol yüzdeleri cinsindendir, deneysel verilerdir. P_T değeri olarak 760 mm Hg esas alınmış, P_i değerleri Antoine Bağıntısından hesaplanmıştır.

Toplu sonuçlar (Aktivite katsayıları), Tablo 3 de gösterilmiştir.

Tablo 4, Tablo 2 nin devamı gibi düşünülebilir: Tablo 4 de, her iki cihaz ile alınan denge verilerine iki farklı denklem sistemi uygulanmıştır.

Etil alkol ve su için aktivite katsayıları hesaplandıktan sonra, relatif uçuculuğa geçilmiştir. Relatif uçuculuk ($\alpha_{1,2}$), (72) bağıntısı ile hesaplanmıştır.

Van Laar denklemi sabitleri de, Margules denklemleri sabitlerinin bulunusunda olduğu gibi aynı metod ile hesaplanmıştır.

Gillespie Cihazında Margules Denklemi ile hesaplanan
Aktivite Katsayılarının Değerleri

Tablo:3

| Tuz etkisi | | Kompozisyon %mol Etil alkol | | | |
|------------------------------|-------|-----------------------------|--------|--------|--------|
| | | 3.00 | 23.55 | 50.00 | 87.00 |
| Tuzsuz çalışma | g su | 1.0548 | 1.0370 | 1.2690 | 2.3432 |
| | g al. | 4.2643 | 2.1100 | 1.6280 | 1.0117 |
| 0.09 M. CaCl ₂ | g su | 1.0525 | 1.0369 | 1.3900 | 2.3305 |
| | g al. | 4.6070 | 2.1106 | 1.4420 | 1.0125 |
| 0.18 M. CaCl ₂ | g su | 1.0524 | 1.0367 | 1.2569 | 2.3250 |
| | g al | 4.6073 | 2.1119 | 1.6523 | 1.0129 |
| 0.27 M. CaCl ₂ | g su | 1.0502 | 1.0369 | 1.2634 | 2.3247 |
| | g al | 4.9896 | 2.1125 | 1.6388 | 1.0131 |
| 0.32 M. CaCl ₂ | g su | 1.0510 | 1.0364 | 1.2548 | 2.3192 |
| | g al | 4.8510 | 2.1130 | 1.6568 | 1.0131 |
| 0.45 M. CaCl ₂ | g su | 1.0487 | 1.0359 | 1.2663 | 2.3192 |
| | g al | 5.2424 | 2.148 | 1.6329 | 1.0131 |

Tablo:4

Gillespie Cihazında Azeotropik Sisteme tuz ilâvesi (CaCl_2) ile

| Kullanılan Denklem | İndis | 0.00 mol | 0.09 mol | 0.18 mol | 0.27 mol | 0.32 mol | 0.45 mol |
|--------------------|----------------------------------------|--------------|----------|----------|----------|----------|----------|
| VAN LAAR Denklemi | $\chi_{\text{H}_2\text{O}}$ | 2.5330 | 2.3302 | 2.3249 | 2.3219 | 2.3226 | 2.3226 |
| Sabitler: | $\chi_{\text{C}_2\text{H}_5\text{OH}}$ | 1.0117 | 1.0126 | 1.0129 | 1.0131 | 1.0131 | 1.0131 |
| $A = 0.6142284$ | $B = 319.78696$ | $\infty 1.2$ | 0.399 | 0.540 | 0.617 | 0.645 | 0.647 |

Gillespie Cihazında Azeotropik Sisteme tuz ilâvesi(CaCl_2) ile

| MARGULES Denklemi | İndis | 2.3432 | 2.3305 | 2.3250 | 2.3247 | 2.3192 | 2.3192 |
|-------------------|----------------------------------------|--------------|--------|--------|--------|--------|--------|
| Sabitler: | $\chi_{\text{C}_2\text{H}_5\text{OH}}$ | 1.0117 | 1.0125 | 1.0129 | 1.0131 | 1.0131 | 1.0131 |
| $A = 0.4393125$ | $B = 0.6288176$ | $\infty 1.2$ | 0.432 | 0.541 | 0.617 | 0.645 | 0.648 |

D. Extr. Kolon Destilasyon Cihazında Azeotropik Sisteme Tuz ilâvesi (CaCl_2)

| VAN LAAR Denklemi | İndis | 2.4159 | 2.3091 | 2.3194 | 2.3219 | 2.3237 | 2.3237 |
|-------------------|----------------------------------------|--------------|--------|--------|--------|--------|--------|
| Sabitler: | $\chi_{\text{C}_2\text{H}_5\text{OH}}$ | 1.0054 | 1.0145 | 1.0136 | 1.0131 | 1.0129 | 1.0129 |
| $A = 0.2723948$ | $B = 301.06929$ | $\infty 1.2$ | 0.416 | 1.053 | 1.113 | 1.456 | 1.476 |

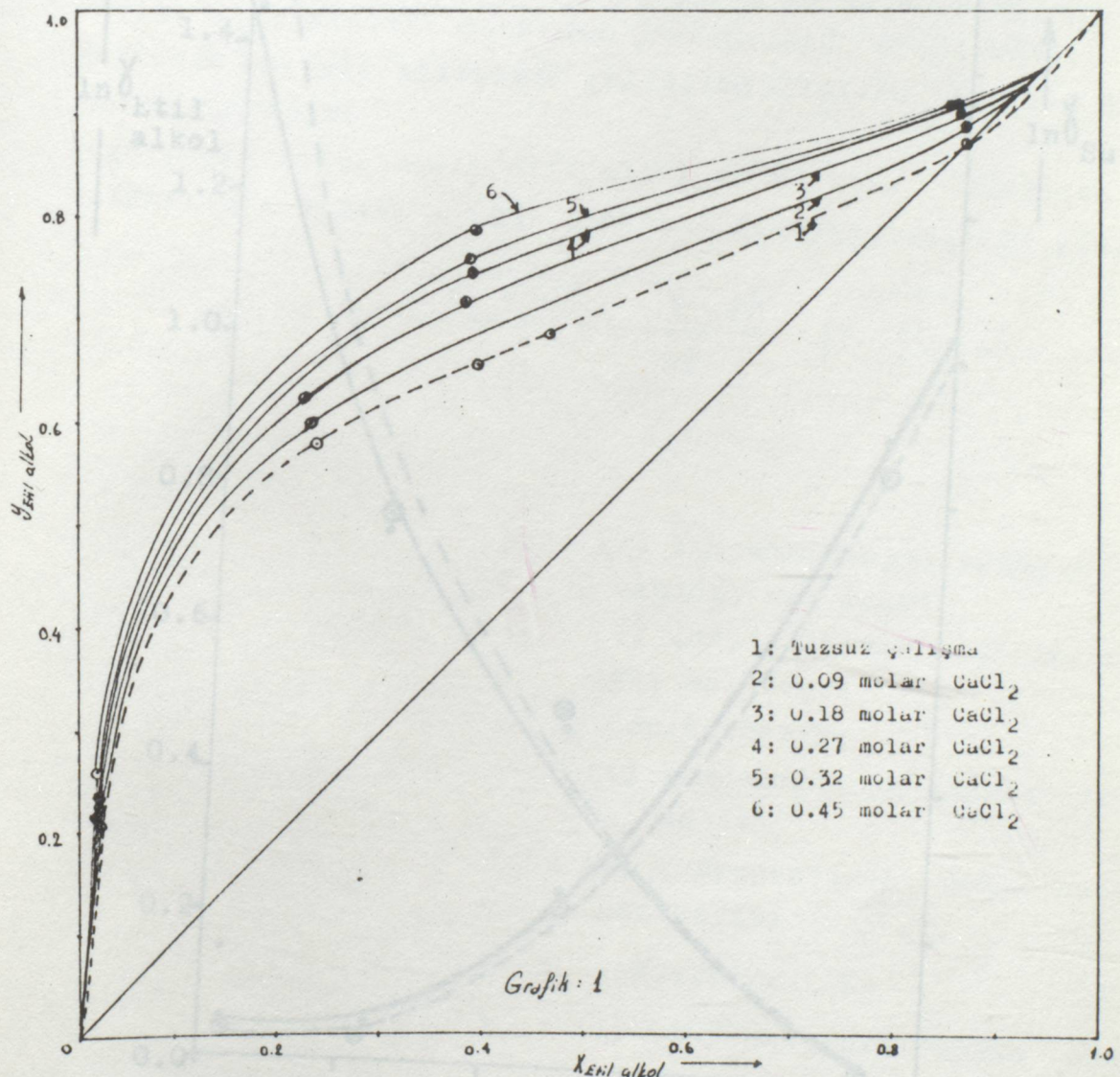
D. Extr. Kolon Destilasyon Cihazında Azeotropik Sisteme Tuz ilâvesi (CaCl_2)

| MARGULES Denklemi | İndis | 2.4324 | 2.3049 | 2.3159 | 2.3218 | 2.3242 | 2.3242 |
|-------------------|----------------------------------------|--------------|--------|--------|--------|--------|--------|
| Sabitler: | $\chi_{\text{C}_2\text{H}_5\text{OH}}$ | 1.0040 | 1.0149 | 1.0137 | 1.0131 | 1.0128 | 1.0128 |
| $A = 0.4039046$ | $B = 0.8120262$ | $\infty 1.2$ | 0.413 | 1.055 | 1.114 | 1.455 | 1.476 |

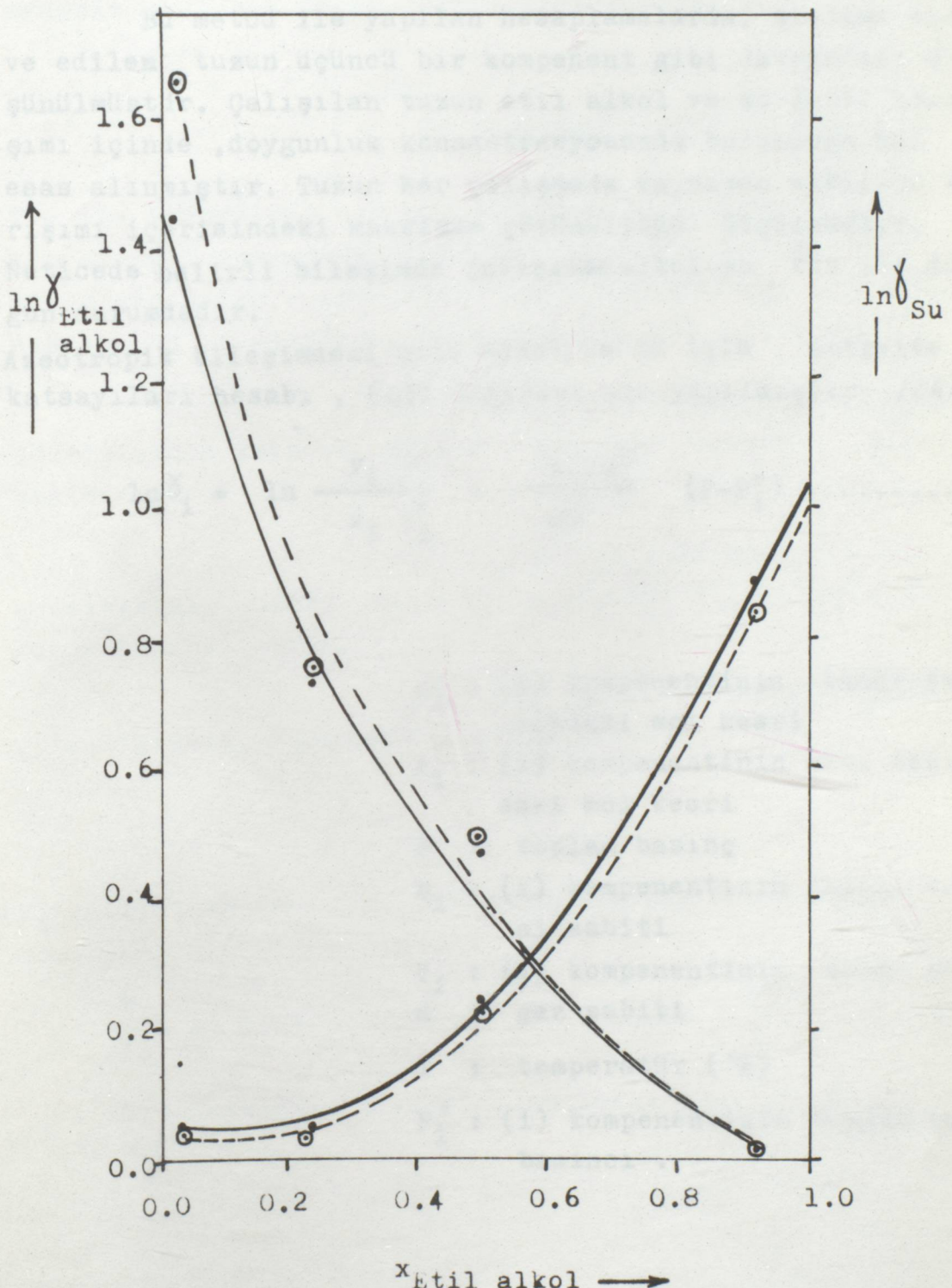
Sabit tuz konsantrasyonunda ($\text{CaCl}_2 = 0.45$ molar),
Margules Denklemi ile Aktivite Katsayılarının Değerleri

Tablo : 5

| Kompozis-yon. %mol Etil al. | 3.00 | 23.55 | 50.00 | 87.00 | | | | |
|-----------------------------------|--------|--------------|--------------|--------------|--------------|--------------|--------------|-------|
| Çalışma Şekli | tuzsuz | tuzlu tuzsuz | tuzlu tuzsuz | tuzlu tuzsuz | tuzlu tuzsuz | tuzlu tuzsuz | tuzlu tuzsuz | |
| Temperatür C° | 93.0 | 93.0 | 83.0 | 83.0 | 79.0 | 79.0 | 78.2 | 78.2 |
| γ_{Et} | 4.264 | 5.242 | 2.110 | 2.115 | 1.628 | 1.633 | 1.004 | 1.013 |
| $\ln \gamma_{\text{Et}}$ | 1.450 | 1.657 | 0.747 | 0.749 | 0.487 | 0.490 | 0.004 | 0.004 |
| γ_{Su} | 1.055 | 1.049 | 1.037 | 1.036 | 1.269 | 1.266 | 2.432 | 2.319 |
| $\ln \gamma_{\text{Su}}$ | 0.05 | 0.048 | 0.04 | 0.035 | 0.238 | 0.236 | 0.889 | 0.841 |



Sabit Basıncda, Tuz ve su ile etil alkol
solutasyonlarında katsayılarının karşılaştırılması



Grafik:2

(67) Denklemleri, çalisilan sistemde bir denklemler ile ayrı
Sabit Basıncda , Tuz verileri ile Etil alkol ve Suya
ait Aktivite Katsayılarının Hesabı

Bu metod ile yapılan hesaplamalarda, sisteme ilâve edilen tuzun üçüncü bir komponent gibi davranışlığı düşünülmüştür. Çalışılan tuzun etil alkol ve su ikili karışımı içinde, doygunluk konsantrasyonunda bulunduğu hal esas alınmıştır. Tuzun her çalışmada kaynayan alkol-su karışımı içerisindeki maksimum çözünürlüğü ölçülmüştür. Neticede belirli bileşimde çalışılan alkol-su, tuz ile doygun durumdadır.

Azeotropik bileşimdeki etil alkol ve su için, aktivite katsayıları hesabı, (67) denklâmi ile yapılmıştır: /24/

$$\ln \gamma_i = \ln \frac{y_i P}{x_i P_i^*} + \frac{B_i - V_i^L}{RT} (P - P_i^*) \dots\dots\dots (67)$$

y_i : (i) komponentinin buhar fazındaki mol kesri

x_i : (i) komponentinin sıvı fazındaki mol kesri

P : toplam basınc

B_i : (i) komponentinin ikinci virial sabiti

V_i : (i) komponentinin molar hacmi

R : gaz sabiti

T : temperatür ($^{\circ}$ K)

P_i^* : (i) komponentinin doygun buhar basıncı .

(67) Denklemi, çalışılan sisteme bir değişiklik ile uygunlanabilir:

Etil alkol-Su çözeltisi tuz komponenti ile doygun olduğundan (P_i^*)'ın bu denklemde kullanılması uygun değildir, bu nedenle yeni bir değer (P_i^{**}) tanımlanmıştır.

$$E: \text{düzeltme faktörü} = \frac{\bar{I}_T}{\bar{I}_{Ti}} \dots (83)$$

Tuz ile doyurulmuş her bir komponentin kaynama noktası , her bir saf komponentin kaynama noktası değerine göre yükseleceğinden, komponentin buhar basıncı değeride değişectir. E parametresi bu değişimin bir ölçüsüdür.

Π_T = Alkol-tuz, veya Su-tuz doygun çözeltisinin kaynama noktası değerinde sistemin toplam basıncı .

$\bar{\eta}_{Ti}$ = Alkol-tuz veya Su-tuz doygun çözeltisinin kaynama noktası değerinde, (i) bileşeninin buhar basıncı değeri.

$P_i^{**} = \text{Alkol-tuz veya Su-tuz doygun çözeltisindeki çözüçünün buhar basıncı.}$

B_i : (i) komponentinin ikinci virial gaz sabitinin hesabı:
/25/

$$\frac{B_i}{V_G} = 0.430 - 0.866 \left(\frac{T_c}{T}\right) - 0.694 \left(\frac{T_c}{T}\right)^2 \dots \dots \quad (84)$$

(84) Denkleminin kullanılabilmesi için ön şart:

$$0.55 \leq \left(\frac{T}{T_c} \right) \leq 6.0 \quad \dots \dots \dots \quad (85)$$

(67) Denkleminde kullanılan amacılık (64) denkleminde

T_c : (i) komponentinin kritik temperatürü ($^{\circ}\text{K}$)

T : Çalışma temperatürü (K)

V_c : (i) komponentinin kritik molar hacmi (cm^3 / mol)

Sabitlerin Değerleri /25/

| Madde | P_c | V_c | T_c |
|------------|-----------------|--------------------------|--------------------|
| | MN/m^2 | cm^3/mol | $^{\circ}\text{K}$ |
| Etil alkol | 6.14 | 167 | 513.9 |
| Su | 22.12 | 59.1 | 647.3 |

P_c : kritik basınç

Birim değiştirme /26/

$$1 \text{ N/m}^2 = 9.869 \times 10^{-6} \text{ atm.}$$

$$1 \text{ MN/m}^2 = 9.869 \text{ atm.}$$

$$(P_c)_{\text{Et.al.}} = 6.14 \frac{\text{MN}}{\text{m}^2} \frac{9.869 \text{ atm.}}{1 \text{ MN/m}^2} = 60.59566 \text{ atm.}$$

$$(P_c)_{\text{Su}} = 218.30228 \text{ atm.}$$

(67) Denkleminde , V_i^L değeri olarak , V_b hesaplandı.

Benson Eşitliği ile bir sıvının kaynama noktasındaki molar hacminin hesaplanması : /27/

$$V_c = \bar{V}_b (0.422 \log P_c + 1.981) \dots\dots\dots (86)$$

\bar{V}_b = kaynama noktasındaki molar hacim. (cm^3/mol)

P_c = kritik basınç (atm.)

(67) Denkleminde kullanılmak amacıyla, (84) denkleminden hesaplanan B_i değeri, alkol-tuz veya su-tuz doygun çözeltisinin kaynama noktası değeri için bulundu.

Açıklama: Saf etil alkol ve saf su, CaCl_2 , CH_3COONa , CH_3COOK ile doyurulmuş halde iken, normal kaynama noktalarının üzerindeki bir temperatür değerinde kaynarlar.

Bir sıvı, bir de katı komponent içeren sistemin kaynama noktası yükselmesi, /28/ :

$$k_B = \lim_{x \rightarrow 0} \frac{i \cdot \Delta t_B}{x_s} \quad \dots \quad (87)$$

(87) Denklemi ile hesaplanmıştır.

k_B = Saf çözücüye ait sabit değer

x_s = Katının mol kesri

Δt_B = Atmosferik basınçdaki kaynama noktası yükselmesi.

i = İyon sayısı

Tablo : 5

| Sistem | k_B | x_s | Δt_B |
|-------------------------------------------------------------------|-------|-------|--------------|
| H_2O -Doygun CaCl_2 | 28.9 | 0.192 | 1.846 |
| H_2O -Doygun CH_3COONa | 28.9 | 0.355 | 5.13 |
| H_2O -Doygun CH_3COOK | 28.9 | 0.490 | 7.080 |
| $\text{C}_2\text{H}_5\text{OH}$ -Doygun CaCl_2 | 26.0 | 0.327 | 2.837 |
| $\text{C}_2\text{H}_5\text{OH}$ -Doygun CH_3COONa | 26.0 | 0.020 | 0.26 |
| $\text{C}_2\text{H}_5\text{OH}$ -Doygun CH_3COOK | 26.0 | 0.110 | 1.430 |

Azeotropik Kompozisyon üzerine değişik tuz etkileri
Tablo :6

| Sistem | Sıvı faz | | Buhar fazı | |
|-----------------------------------------------------|-----------|-----------|------------|-----------|
| | % Ağ.(al) | % Mol(al) | % Ağ.(al) | % Mol(al) |
| Doygun CaCl_2 - Azeotropik kar. | 95.50 | 89.25 | 92.50 | 82.84 |
| Doygun CH_3COONa Azeotropik kar. | 94.20 | 86.40 | 95.47 | 89.2 |
| Doygun CH_3COOK Azeotropik kar | 90.84 | 79.51 | 97.96 | 94.90 |

Tablo : 6 da, Değiştirilmiş Extraktif Kolonda, değişik tuzlarla yapılan çalışmaların neticeleri verilmiştir.

Tablo :7 de, (67) Denemesi ile yaradılan nesnelerde kullanılan sayızı değerler gösterilmiştir.
Bu esneklik ölçümü verilen değerler, sisteme pure, net bir bileşen için neticelerde bulunurken kullanılmıştır.

(67) Denklemi ile ilgili bilgiler

Tablo : 7

| Sistem | Bil. | P_i^{**} | B_i | V_b | P | γ_i |
|----------------------------------------------|---------|------------|-------|-------|------|------------|
| Doy. CaCl_2 - Azeotropik | Al. | 680.1 | -387 | 61.1 | 771 | 1.113 |
| | Karışım | Su | 312.8 | -189 | 19.9 | 771 |
| Doy. CH_3COONa Azeotropik | Al. | 749.1 | -387 | 61.1 | 769 | 1.060 |
| | Karışım | Su | 277.7 | -182 | 19.9 | 769 |
| Doy. CH_3COOK Azeotropik | Al. | 715.9 | -384 | 61.1 | 769 | 1.280 |
| | Karışım | Su | 254.6 | -180. | 19.9 | 769 |

Tablo :7 de, (67) Denklemi ile yapılan hesaplamalar-
da kullanılan sayısal değerler gösterilmiştir.
En sağdaki sütunda verilen değerler, sisteme göre, her
bir bileşen için neticede bulunan aktivite katsayıları-
dır.

(67) ve (68) Denklemlerine ait bilgiler

Tablo : 8

| Bağıntı No : | (67) Bağıntısı | | (88) Bağıntısı | | |
|-------------------------------------------------------|------------------------------------------|--------|----------------|-------|-------|
| Sistem | İndis | Değer | α | N_3 | k_3 |
| Doygun CaCl_2 - Azeotropik Karışım | $\gamma_{\text{C}_2\text{H}_5\text{OH}}$ | 1.113 | | | |
| | $\gamma_{\text{H}_2\text{O}}$ | 3.133 | 0.581 | 0.312 | -1.74 |
| | $\alpha_{1,2}$ | 0.260 | | | |
| | α_i | 0.274 | | | |
| Doygun CH_3COONa - Azeotropik Karışım | $\gamma_{\text{C}_2\text{H}_5\text{OH}}$ | 1.060 | | | |
| | $\gamma_{\text{H}_2\text{O}}$ | 2.190 | 1.300 | 0.005 | 5.25 |
| | $\alpha_{1,2}$ | 0.737 | | | |
| | α_i | 0.630 | | | |
| Doygun CH_3COOK - Azeotropik Karışım | $\gamma_{\text{C}_2\text{H}_5\text{OH}}$ | 1.280 | | | |
| | $\gamma_{\text{H}_2\text{O}}$ | 0.755 | 4.795 | 0.183 | 8.56 |
| | $\alpha_{1,2}$ | 10.030 | | | |
| | α_i | 8.13 | | | |
| 0.32 M CaCl_2 - Azeotropik Karışım | $\gamma_{\text{C}_2\text{H}_5\text{OH}}$ | — | | | |
| | $\gamma_{\text{H}_2\text{O}}$ | — | 3.386 | 0.018 | 69.20 |
| | $\alpha_{1,2}$ | 5.02 | | | |
| | α_i | — | | | |

Tuz Etki Parametrelerinin Hesaplanması : /29/

değerini bulmak istenir.

İçin (72) $\ln \frac{\alpha_s}{\alpha} = k_3 \cdot N_3$ (88)

de kullanılır.

hesaplanmıştır.

k_3 : Tuz etki parametresi

N_3 : Sıvı fazdaki tuzun mol fraksiyonu.

$$N_3 = \frac{\text{tuzun mol sayısı}}{\text{tuzun mol sayısı} + \text{alkolinin mol sayısı} + \text{suyun mol sayısı}}$$

α : Sistemde tuz kullanılmadığı durumda, relatif uçuculuk değeri.

α_s : Alkol-Su-Tuz sistemindeki, Alkol-Suyun relatif uçuculuk değeri.

Tuz ile çalışılan ve çalışılmayan durumlarda, relatif uçuculuk değerleri

$$\alpha = \frac{y_1 (1-x_1)}{x_1 (1-y_1)} \quad \dots \quad (34) \quad \text{eşitliğinden}$$

hesaplanmıştır.

$\frac{\alpha_s}{\alpha}$: Extraktif Destilasyon için düzeltme faktörü.

(71) Denkleminden hesaplanan aktivite katsayıları değerleri için, (72) denklemi ile hesaplanan $\alpha_{1,2}$ değerleri her bir tuzlu sistem için bulunmuş olup, Tablo : 8 'de gösterilmiştir.

α_i simbolü ile ifade edilen relatif uçuculuk değerleri yine (72) denklemi ile hesaplanmıştır, fakat bu denklikde kullanılan , aktivite katsayıları, (67) bağıntısından hesaplanmıştır..

Tablo :8'in ikinci kısmında ise , (88) Bağıntısında kullanılan değerler, adı geçen eşitlikler ile hesaplandıktan sonra, netice (k_3) değerleri ile birlikte görülmektedir..

Alınan verisiminin bu kompozisyon değerindeki ve 750 mAh batarya altındaki kaynama noktası : 78.2ldir.
Azotrop bu özelliğin dolayısıyla minimum kaynaklı bit kergi-
midir, her bir komponentin aktivite katsayıları (1) değerinden büyükdir, bu sebeple ideozilicidin nötral yönde saptanması poss-
teridir. Heneyel veriler ve hesaplamaların teorisi de-
maktadır.

en arastırmasında, once Gillespie-Dreyer (1968) de-
giçik kompozisyonlardaki alkol- CH_3OH maddelerinin
bunar dengे verileri alınmıştır.
Artan CH_3OH konstantasyonu ile, sıvı buhar dengesi verisinin
bunar ideozilicid komponenti teknilere özgü değişimi göz-
nilmiştir. Bu değişim en fazla 0.5 apm'ye varlığından
maksimuma getirilmiştir. Tablo 1 ve Grafikler bu değişimlerin
nevisini göstermektedir.

Degişiminin ideozilicid Densiteleri kolomunda aynı
yanıltıcı adıotope kompozisyon ile yapılan çalışmalar,
Tablo 2'de Gillespie - Okazaki verileri ile karşılaştırılmıştır.
Bu tablo kolonun ayıncı tekniğinin Gillespie Çıkarımı
göre yüksek ölçüde doğrudur, bunun enigma nedeni kolon-
daki buhar ve sıvı molarlarının toplam molarasının genel, an-
yakama yüzey alanlarının büyük olmasıdır.

5. SONUÇLAR VE TARTIŞMA

Su ve etil alkol, saf halde ve 760 mmHg basıncında, sırasıyla, 100 °C da ve 78.4 °C da kaynayan iki sıvı madde dir. Bu iki sıvı birbirleriyle değişik bileşimlerde karıştırılırsa, karışım farklı temperatür değerlerinde kaynar, fakat Gillespie Denge Cihazı ile komponentlerine tam olarak ayrılamaz, yalnızca etil alkol bakımından buhar fazı belirli bir değere kadar zenginleşebilir.

Eğer bu ikili karışım, molce %87 etil alkol içeriyorsa, denge cihazından veya destilasyon kolonundan tek bir madde imiş gibi geçer, yani sıvı fazın bileşimi ile buhar fazının bileşimi denge durumunda birbirine eşit olur.

Alkol-su karışımının bu kompozisyon değerindeki ve 760 mmHg basınç altındaki kaynama noktası : 78.2°cdır.

Azeotrop bu özelliği dolayısıyla minimum kaynamalı bir karışımındır. Her bir komponentin aktivite katsayısı (1) değerinden büyündür, bu sebeple ideallikten pozitif yönde sapma gösterir. Deneysel veriler ve hesaplamalar bu teoriyi doğrulamaktadır.

Bu araştırmada, önce Gillespie Denge Cihazı ile değişik kompozisyonlardaki alkol-su karışımıları için, sıvı-buhar denge verileri alınmıştır.

Artan CaCl_2 konsantrasyonu ile, sıvı-buhar denge eğrisinin, buhar fazının alkol komponenti bakımından zenginleştiği görülmüştür. Bu değişim en fazla 0.45 molar CaCl_2 ile çalışmada gözlenmiştir, Tablo:1 ve Grafik:1'de bu çalışmaların neticeleri gösterilmiştir.

Değiştirilmiş Extraktif Destilasyon kolonunda aynı şartlarda azeotropik kompozisyon ile yapılan çalışmalar, Tablo:2 'de Gillespie Cihazı verileri ile mukayese edilirse, ilk bakışda kolonun ayırcı etkisinin Gillespie Cihazına göre yüksek olduğu söylenebilir, bunun başlıca sebebi kolon-daki buhar ve sıvı akımlarının temas mesafesinin geniş, karşılaşma yüzey alanlarının büyük olmasındandır.

Çalışma şartlarında, CaCl_2 molekülleri, su molekülleri ile gruplaşma molekülleri oluşturma eğiliminde olmalıdır. Literatür araştırmaları, CaCl_2 'ün kolon temperaturünde, iki molekül su ile kararlı bir kompleks yapı oluşturabileceğini göstermiştir. /31/

Kolon denge durumuna geldiğinde, buhar fazının alkolce zenginleşmiş olduğu, sıvı fazın ise tuz ve düşük konsantrasyonda alkol, yüksek konsantrasyonda su ihtiva ettiği bulundu. Serbest halde bir süre bırakılan sıvı karışımında, dipde toplanan yoğun madde $\text{CaCl}_2 \cdot 2\text{H}_2\text{O}$ ve düşük konsantrasyonda alkol içerir. Burada bir faz ayrılması söz konusu olmamakla birlikte, sıvı karışımın bileşimin her noktada aynı homojenlikde olmadığı su tayini ile tespit edilmiştir. Sıvı kompozisyonun bileşimini belirlemek amacıyla numune, sıvı karışımın üst kısmından alınmışdır. Bu yöntem tüm tuzlu sistem çalışmaları için uygulanmıştır.

Tablo:3'deki aktivite katsayıları, Gillespie Denge cihazı verileri ile, Margules Denklemi uygulanmak suretiyle hesaplanmıştır. Her bir karışım için, sistemdeki tuz miktarının, karışımın kaynama noktasını değiştirmediği varsayıldı. Çalışma şartlarında atmosferik basınç 760 mmHg alındı.

Tablo:4 ve Tablo:5 aynı varsayımlar ile hazırlanmıştır. Bu yaklaşımlar neticesinde, Antoine Bağıntısı ile hesaplanan her bir komponente ait buhar basınç değerleri gerçek değerlerinden biraz farklı olabilir.

Margules ve Van Laar denklemleri ile iki bileşenli sistem için hesap yapılmıştır. Tuzun üçüncü bir komponent olarak etkisi dolaylı olarak, denge durumundaki buhar, sıvı kompozisyon değerlerinin değişimine sebep olmuştur.

Bahsedilen yaklaşımlar ile, Margules Denklemi ile hesaplanan aktivite katsayılarından, Grafik:2 çizilmiştir.

Kesiksiz çizgi ile belirlenen eğri, tuzsuz çalışmalar ile Gillespie Cihazında alınan veriler ile düzenlenmiştir.

Kesikli çizgilerin belirlediği eğrinin hazırlanmasında ise sabit konsantrasyonda(0.45 molar) CaCl_2 ile aynı cihazda alınan veriler temel kabul edilmiştir.

Saf etil alkol-su karışımı için çizilen $\ln \gamma$ - Bileşim grafiğinin literatüre uygun olduğu görülmüşdür.

Bu da cihazın bu çalışmada uygunluğunu ortaya koymaktadır.

CaCl_2 - etil alkol -su sistemi için, çalışma şartlarına uygun veya yakın herhangibir $\ln \gamma$ - Bileşim grafiğine rastlanmamışdır..

Tuzun, çalışılan sistemde üçüncü bir komponent olarak düşünüldüğü durum için, aktivite katsayılarının hesaplanması (67) denklemi ile yapılmıştır.

Bu denklemde, her bir alkol ve su komponentinin, tuz ile doyruıldığı durumda bazı fizikokimyasal şartlarının değiştiği hesaba katılmıştır.

Bu çalışmada, (67) denklemi sadece azeotropik kompozisyon ile çalışma şartlarına uygun olarak kullanılmıştır.

Fakat, bu formül doygun konsantrasyonda tuz ile olmak şartıyla, değişik bileşimlerdeki ikili bir sıvı karışımının her bilesenine ait aktivite katsayılarının hesaplanmasında kullanılabilir.

Azeotropik kompozisyon ile Değiştirilmiş Extraktif kolonda, doygun konsantrasyon değerlerinde CaCl_2 , CH_3COONa , ve CH_3COOK ile çalışmalar neticesinde, denge durumunda sıvı ve buhar fazlarının bileşim değerleri Tablo: 6 'da gösterilmiştir. CH_3COONa ve CH_3COOK 'ı sistemdeki davranışları, buhar fazını uçucu komponente zenginleştirme şeklindedir. Bu özelliklerini itibariyle bahsedilen iki tuzun çalışma şartlarında ayıricı etkisi vardır denebilir. Bu ayıricı etki rakamsal olarak en fazla CH_3COOK 'da görülmüşdür.

CaCl_2 'ün doygunluk konsantrasyonunda azeotropik sistemdeki davranışları, aynı tuz ile fakat değişik tuz konsantrasyonlarındaki davranışından farklıdır. Seyreltik konsantrasyonlarda ayıricı yöndeki tuz etkisi, doygun konsantrasyonda değişerek ayıricı olmayan yönde tuz etkisine dönmektedir.

Esasen olayın açıklaması zor olmakla birlikte, literatür tabanları esnasında değişik tuz ve sistemler ile yapılan çalışmalarla benzeri durumlar ile karşılaşılmıştır.. /32/ (Şekil:23,24)

Tuz Etkisinin Kimyası bölümünde kullanılan tuzun cinsinin yanında miktarının ve sisteme uygunluğunun önemi üzerinde durulmuştu. Tüm sistemde CaCl_2 ile yapılan çalışmalar bu bakımdan ilginçdir..

Azeotropik sistemde , 0.32 molar CaCl_2 ile çalışmada , tuzun ayırma etkisinin maksimum olduğu görülür,tuz moleküller , su molekülleri ile en kararlı assosiasyon komplekslerini tuzun bu konsantrasyon değerinde gerçekleştirmiş olmaktadır, alkol-su molekülleri arasındaki gruplaşma moleküller düzeyde bozulmuş olmaktadır.

CaCl_2 'ün azeotropik sistemde , doygunluk konsantrasyonundaki davranışçı, çalışma temperatüründe tuzun alkoldeki çözünürlüğünün diğer tuzlara göre yüksek olması sebebiyle ,tuzun her iki komponent molekülleri ile de moleküller düzeyde gruplaşmalar teşkil edebileceğini düşündürmektedir..

CaCl_2 - Su arasındaki assosiasyon kompleksleri, CaCl_2 - Etil alkol assosiasyon komplekslerine göre daha kuvvetli olmalıdır. Çünkü suyun polarlığı, alkole göre daha yüksekdir: Su için dipol momentin değeri= 1.84 D dir.

Etil alkol için dipol momentin değeri= 1.70D olarak bulunmuştur. /33/

Üç tuzu birbirleri ile mukayese edersek, polarlığı yüksek olan su molekülleri arasındaki gruplaşmaları arttıran su-alkol molekülleri arasındaki gruplaşmaları minumum değere indirerek, buhar fazında alkolü maksimum zenginleştirebilen ayırıcı etkisi olan tuz CH_3COOK 'dır.

Bu maddeyi, 0.32 molar CaCl_2 ve CH_3COONa sırasıyla izler..

Tuzların özelliklerine göre ,her birisi için çalışma şartlarına uygun olarak, tuz etki parametreleri tayin edilmiştir. (88) Denklemine göre, en az miktarda tuz ile, azeotropu kaydırarak buhar fazında en fazla alkolü zenginleştirme 0.32 molar CaCl_2 ile sağlanmıştır.

CH_3COOK , buhar fazında alkol komponenti bakımından en yüksek zenginleşmeyi sağlamakla birlikte,tuzun sudaki çözünürlüğü çok yüksek olduğundan,bağlı olarak parametre değeri daha küçük bulunmuştur.

6. SEMBOLLER

A : Carlson ve Colburn tarafından düzenlenen Margules sabiti.(75) ve (76) denklemi için geçerlidir.

$A_{1,2}$, A_{21} : Margules sabitleri.

a : Aktivite sabiti.

\bar{a}_i : (i) komponentinin, çözelti içindeki aktivitesi.

\bar{a}_i^v : Buhar fazındaki (i) komponentinin sistemdeki aktivitesi

a_i^v : Buhar fazındaki (i) komponentinin, standart durumdaki fugasitesi.

B : Carlson ve Colburn tarafından düzenlenen Margules sabiti.

$c_1, c_2, c_3, c_4, c_5, c_6$: Antoine Denklemi sabitleri.

ς : Çözelti.

E : Düzeltme faktörü.

f : Fugasite.

f_i : (i) komponentinin saf durumdaki fugasitesi.

f_i^o : Saf (i) komponentinin ideal durum fugasitesi.

f_i^L : Saf (i) komponentinin, sıvı fazdaki fugasitesi.

\bar{f}_i^L : Çözelti içindeki (i) komponentinin, sıvı fazdaki fugasitesi.

G_i : İlk haldeki sistemin serbest entalpisi.

G : Standart serbest entalpi.

\bar{G}° : Molar serbest entalpi.

ΔG_{kar} : Karışımın, karmaşma durumundaki serbest entalpisi.

k_3 : Tuz etki parametresi.

N_3 : Sıvı fazdaki tuzun mol fraksiyonu.

n_i : (i) kompenentinin mol sayısı.

n_1 : uçucu bileşenin mol sayısı.

n_2 : az uçucu bileşenin mol sayısı.

P : Toplam basınc

P_1 : Uçucu bileşenin buhar basıncı.

P_2 : Az uçucu bileşenin buhar basıncı

P° : Kompenentin denge durumundaki kısmi basıncı.

P_x : (x)kompenentinin ideal durumdaki kısmi basıncı.

P_A : A kompenentinin ideal durumdaki kısmi basıncı.

P_B : B kompenentinin ideal durumdaki kısmi basıncı.

P_{ii} : Her iki komponentide uçucu olan ikili bir sıvı çözeltide, buhar fazındaki (i) kompenentinin kısmi buhar basıncı.

P_{ii}' : Her iki komponentide uçucu olan ikili bir sıvı çözeltide, saf (ii) kompenentinin buhar basıncı.

P_i^v : Karışımlarda denge durumunda, (i) komponentinin buhar fazındaki kısmi basıncı.

P_i^L : Karışımlarda denge durumunda, (i) komponentinin sıvı fazındaki kısmi basıncı.

P_i^* : Saf (i) bileşeninin denge durumundaki doygun buhar basıncı.

P_i : Saf gaz karışımı içindeki bir gaz komponentinin kısmi buhar basıncı.

P_i^{**} : Alkol-tuz, veya Su-tuz doygun çözeltisindeki çözücüünün buhar basıncı.

R : İdeal gaz sabiti.

S : Entropi.

$\Delta \bar{S}$: Molar entropi değişimi.

T : Temperatur

T_c : Kritik temperatur.

\bar{V} : Bir karışımındaki, gerçek gazın molar hacmi

V^* : İdeal gazın molar hacmi.

\bar{V}_b : Kaynama noktasındaki molar hacim.

V_c : Kritik hacim

\bar{V}_i : Bir karışımındaki, (i) komponentinin, kısmi molar hacmi

V_i : Saf (i) komponentinin, molar hacmi.

v_i^L : Saf (i) komponentinin, sıvı fazdaki molar hacmi.

y_1 : Uçucu komponentin, buhar fazındaki mol kesri.

y_2 : Az uçucu komponentin, buhar fazındaki mol kesri.

x_1 : Uçucu komponentin, sıvı fazdaki mol kesri.

x_2 : Az uçucu komponentin, sıvı fazdaki mol kesri.

x_i : Bir çözeltideki (i)bileşeninin mol kesri.

x_{ii} : Her iki komponenti de uçucu olan, ikili bir sıvı çözeltide, buhar fazındaki,(ii)komponentinin mol kesri.

α : Sistemde tuz kullanılmadığı durumda, relatif uçuculuk değeri, (34)bağıntısı ile hesaplanır.

$\alpha_{1,2}$: Relatif uçuculuk, (72) bağıntisi ile hesaplanır.

α_s : Alkol-Su-Tuz sistemindeki, alkol-suyun relatif uçuculuk-değeri.

α, β : Bir sistemde iki farklı fazı gösterir.

γ_{iL} : (i)komponentinin sıvı fazdaki aktivite katsayısı.

γ_{iv} : (i)komponentinin buhar fazdaki aktivite katsayısı.

γ_i : (i)komponentinin aktivite katsayısı.

γ_1 : Suyun aktivite katsayısı.

γ_2 : Etil alkolin aktivite katsayısı.

M : Kimyasal potansiyel

7. KAYNAKLAR

/1/ : J.Thewlis

Encyclopaedic Dictionary of Physics
Pergamon Press. London 6(1962)373

/2/ : J.M.Smith and H.C.Van Ness

Introduction to Chemical Engineering Thermodynamic
Mc.Graw-Hill Series in Chemical Engineering.
Kogakusha Company Ltd. Tokyo (1959)341-350

/3/ : K.J.Laidler and J.H.Meiser

Physical Chemistry
The Benjamin/Cummings Publishing Company Inc.
California (1982)190-191

/4/ : B.D.Smith

Design of Equilibrium Stage Processes
Mc.Graw-Hill Book Company
New York (1968) 6,12

/5/ : D.Smith

Design of Equilibrium Processes
Mc.Graw-Hill Book Company
New York (1963)29

/6/ : M.Van Winkle

Distillation
Mc.Graw-Hill Book Company
New York (1967)14

/7/ : D.Plazzo

The Effect of Pressure on Azeotropes
University Microfilms International
Michigan (1955)

- /8/ : Lewis G.N and Randall
J.American Soc. 43(1921)233
- /9/ : Chem. Eng. Progress , 49(1953)218
- /10/ : Carlson and Colburn
Ind. Eng. Chem. 34(1942)581
- /11/ : Van Laar
Z.Phys.Chem. 35(1929)185
- /12/ : Tougberg , Fenske , Wrowski.
Ind. Eng. Chem. 29(1937)953
- /13/ : R.E. Treybal
Mass Transfer Operations.
Mc.Graw-Hill Book Company.
New York (1968)288-296
- /14/ : C.S.Carlson
Extraktive and Azeotropic Destillation
Standart Oil Company
Technique of Organic Chemistry Interscience
Publishers New York 4.(1951)
- /15/ : B.D.Smith
Design of Equilibrium Stage Processes
Mc.Graw-Hill Book Company (1963)358
- /16/ : R.E. Treybol
Mass Transfer Operations.
Mc.Graw-Hill Book Company
New York (1968)391-396

- /17/ : W.F.Furter
Extractive and Azeotropic Destillation
Advances in Chemistry Series 115
American Chemical Soc.
Washington D.C. (1972)35-45
- /18/ : D.Meranda and W.F.Furter
A.I.Ch.E. Journal 1 , 20(1974)103-108
- /19/ : U.Avcıata
Doktora Tezi
İstanbul (1981)35-36
- /20/ : Gillespie D.T.C
Ind. Engineering Chemistry Analytical Education
18(1946)575
- /21/ : Snell-Hilton
Encyclopedia of Industrial Chemical Analysis
Interscience Publisher Newyork 1(1966)142-157
- /22/ : E.Hala, J.Pick, V.Fried, O.Vilim
Vapour-Liquid Equilibrium
Pergamon Press. London (1967)37
- /23/ : TRC Tables . Selected Values of Properties of
Chemical Constans.
Assosiation Research Project.
Carnegie Institue Technology . (1960) Table 2.3,
2.1 (1-1200) -k paper.
- /24/ : D.Jaques and W.F . Furter
A.I.Ch.E. Journal 2 , 18(1972)343

- /25/ : G.W.C. Kaye and T.H Laby
Tables of Physical and Chemical Constants and
Some Mathematical Functions
New York (1982)184-186
- /26/ : Resnic, Holliday
Physics.
Wiley International Edition.
New York (1966)Appendix.B.18,30
- /27/ : R.H.Perry and C.H.Chilton
Chemical Engineers' Handbook
International Student Edition 3(1973)229
- /28/ : International Critical Tables
Mc.Graw-Hill Book Company.
New York 3(1929)300-337
- /29/ : D.Meranda and W.Furter
AIChE Journal 1 17(1971)38-42
- /30/ : D.Jaques and W.Furter
Ind. Eng.Chem., Fundam., 3 13(1974)238-241
- /31/ : J.W.Mellor
A Comprehensive Treatise on Inorganic and
Theoretical Chemistry
New York 3(1952)703
- /32/ : D.Meranda and W.Furter
AIChE Journal 1 18(1972)111-115
- /33/ : F.Daniels and R.A.Alberty
Physical Chemistry
New York (1975)483

8. ÖZ GEÇMİŞ

Sevgi Saltık, 1958 yılında İstanbul'da doğdu. Balıkesir Altıeylül ilk okulu, Karesi Orta Okulu ve Muharrem Hasbi Koray Lisesini bitirdikten sonra, 1977 yılında Hacettepe Üniversitesi Kimya Mühendisliği bölümüne girmiştir. Bir yıl İngilizce Hazırlık Sınıfından sonra başladığı yüksek öğrenimini 1982 yılında tamamlamıştır. 1983 yılında Yıldız Üniversitesi Fen-Edebiyat Fakültesi Kimya Bölümü, Genel-Anorganik Kimya Anabilim Dalında Araştırma Görevlisi olarak çalışmaya başlamış olup, halen bu görevini sürdürmektedir.

